

Exploration des Éléments Trace dans les Échantillons de Sol

Station

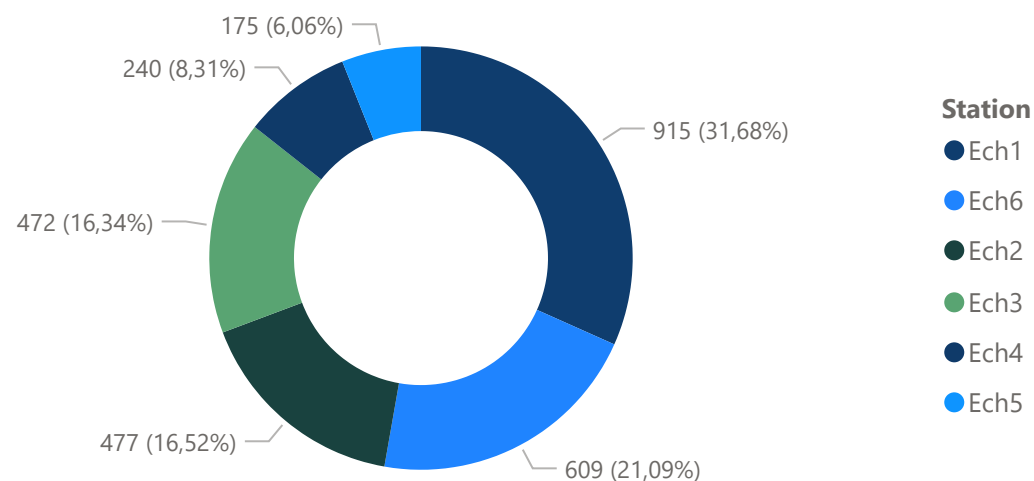
Ech1	Ech4
Ech2	Ech5
Ech3	Ech6

Moyenne des éléments

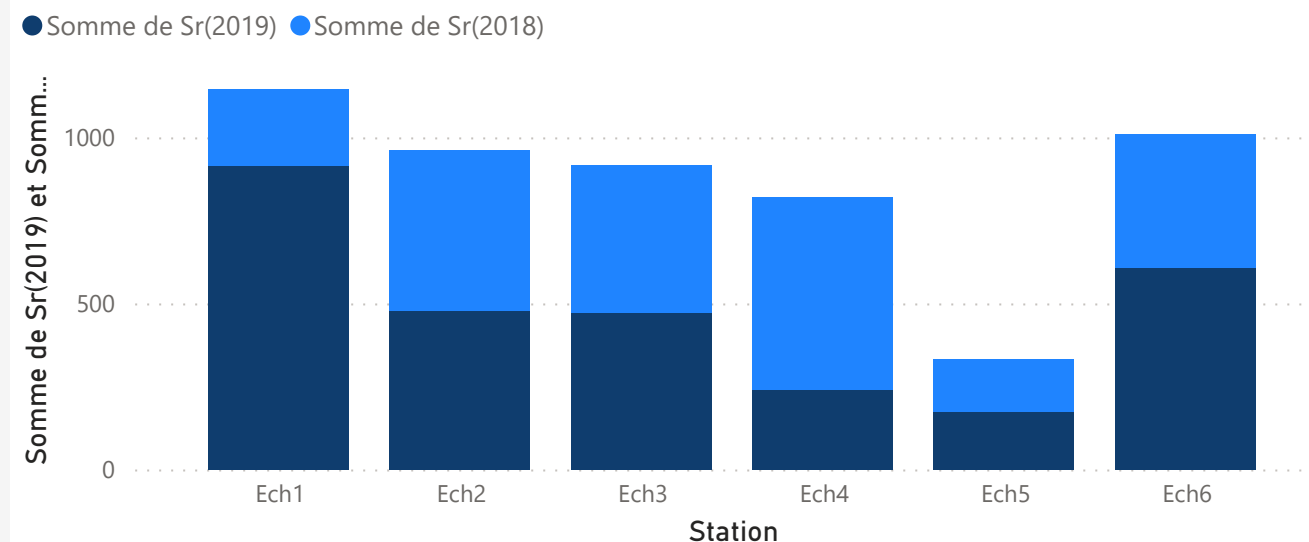
27,00 Moyenne de Ni(2019)	38,00 Moyenne de V(2019)	19,00 Moyenne de Cu(2019)
23,00 Moyenne de Zr(2019)	915,00 Moyenne de Sr(2019)	152,00 Moyenne de Cr(2019)
86,00 Moyenne de Zn(2019)	25,00 Moyenne de Pb(2019)	8,00 Moyenne de Co(2019)
520,00 Somme de CE.1(2019)	798,00 Moyenne de Ba(2019)	35,00 Moyenne de Ce(2019)

97,42 Somme de Fraction > 36(2019)	2,58 Somme de Fraction < 36(2019)
35,8108 Somme de % Caco3 (2019)	0,81 Somme de % Mo(2019)

Sr par Station



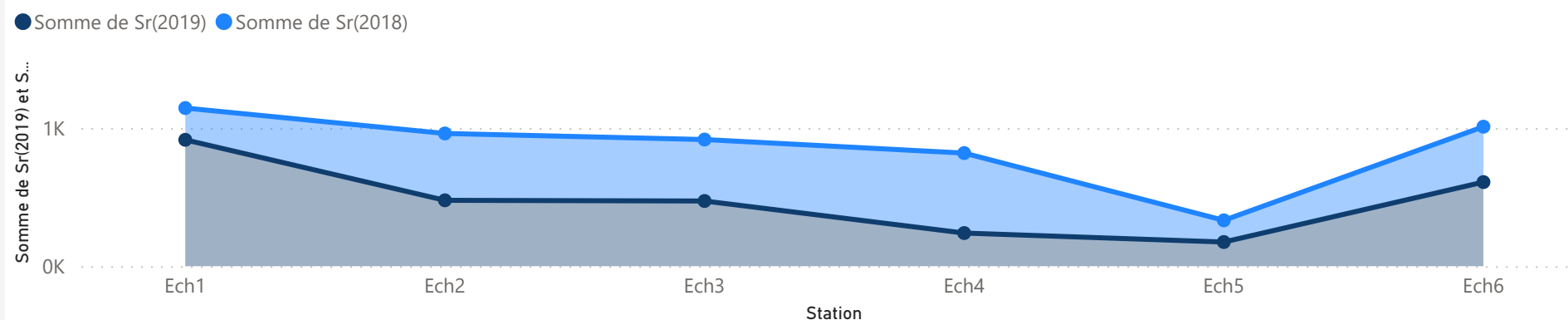
Sr par Station (2018/2019)



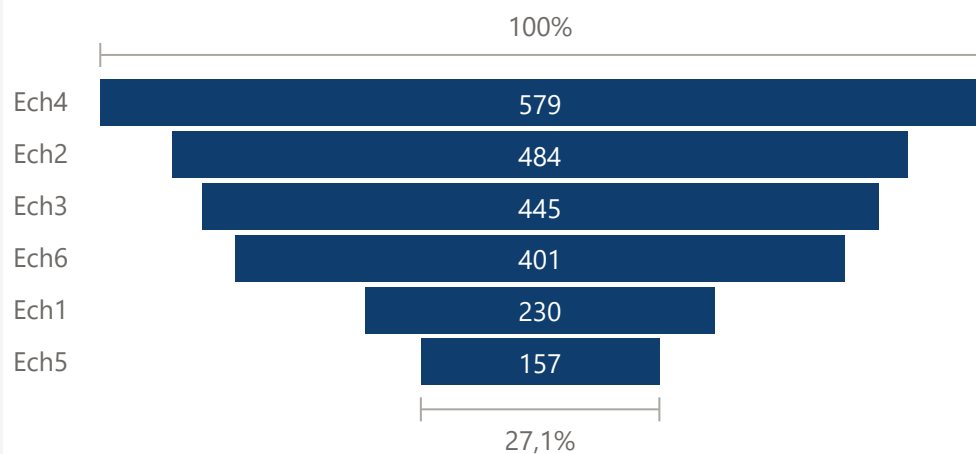
Ech1

Premier Station

Somme de Sr(2019) et Somme de Sr(2018) par Station



Sr par Station



481,33

Moyenne de Sr(2019)

475

Médiane de Sr(2019)

915

Max de Sr(2019)

175

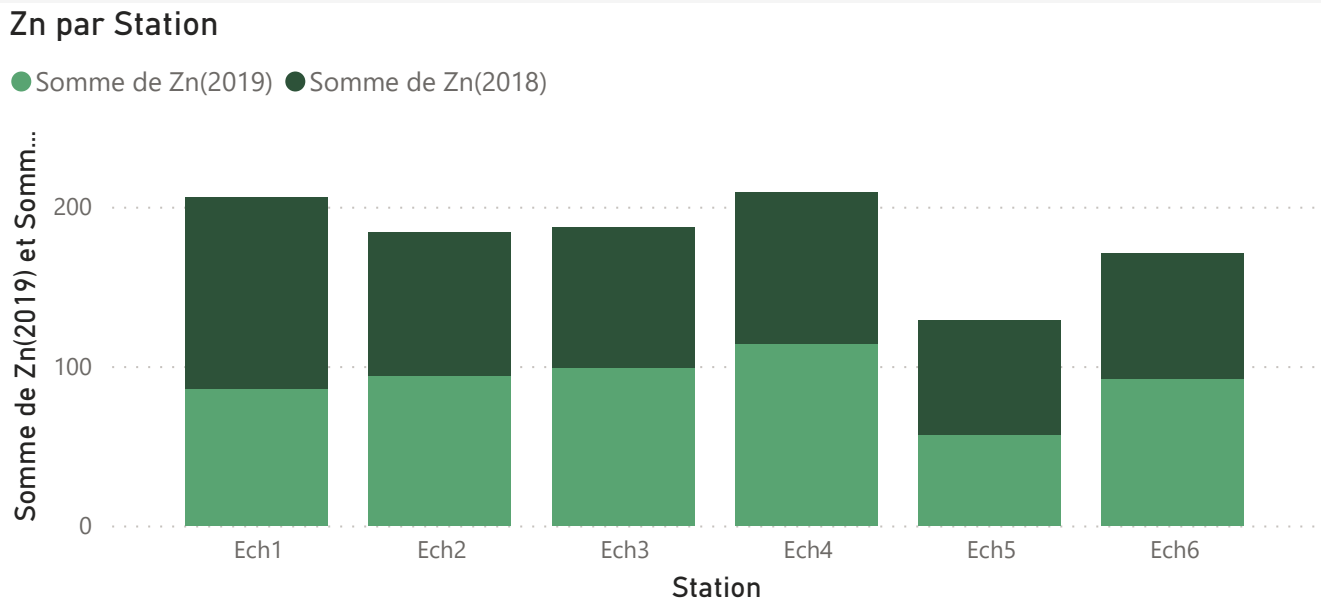
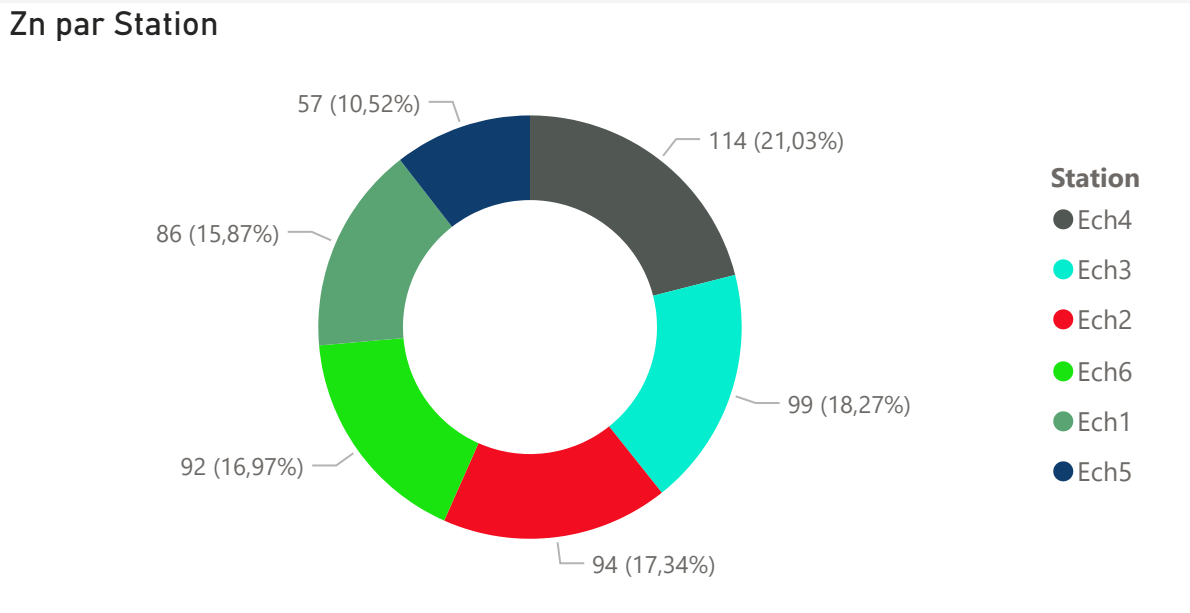
Min de Sr(2019)

59,43K

Variance de Sr(2019)

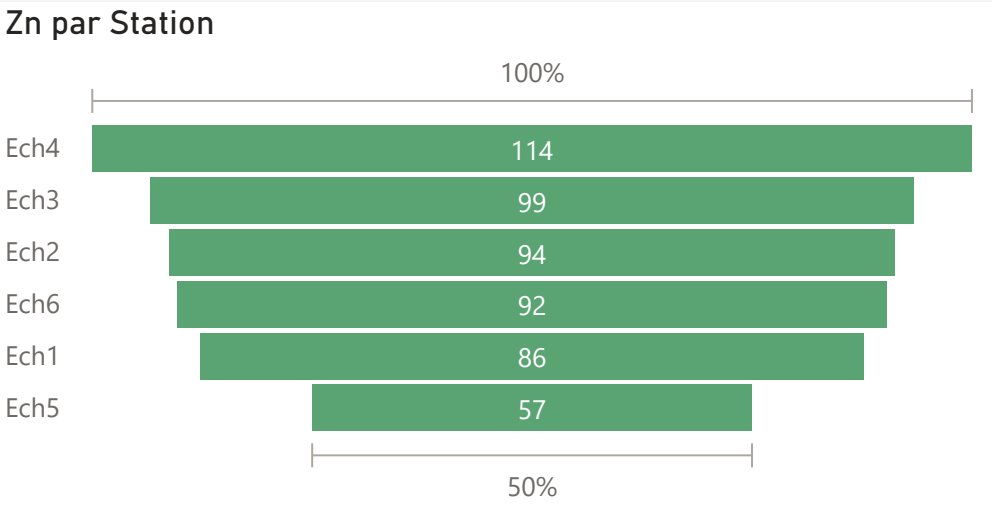
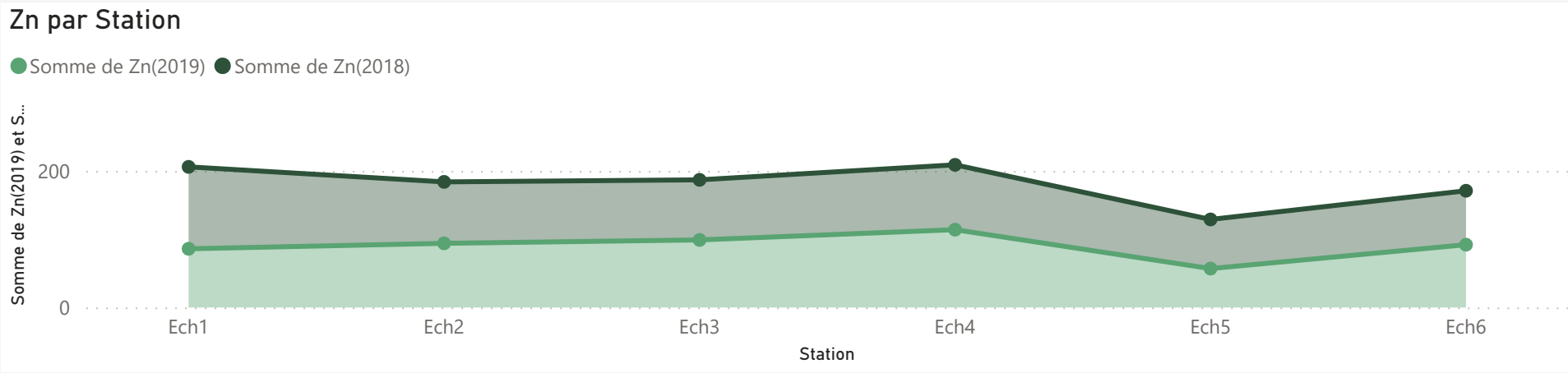
243,77

Écart type de Sr(2019)



Ech1

Premier Station



90,33

Moyenne de Zn(2019)

93

Médiane de Zn(2019)

114

Max de Zn(2019)

57

Min de Zn(2019)

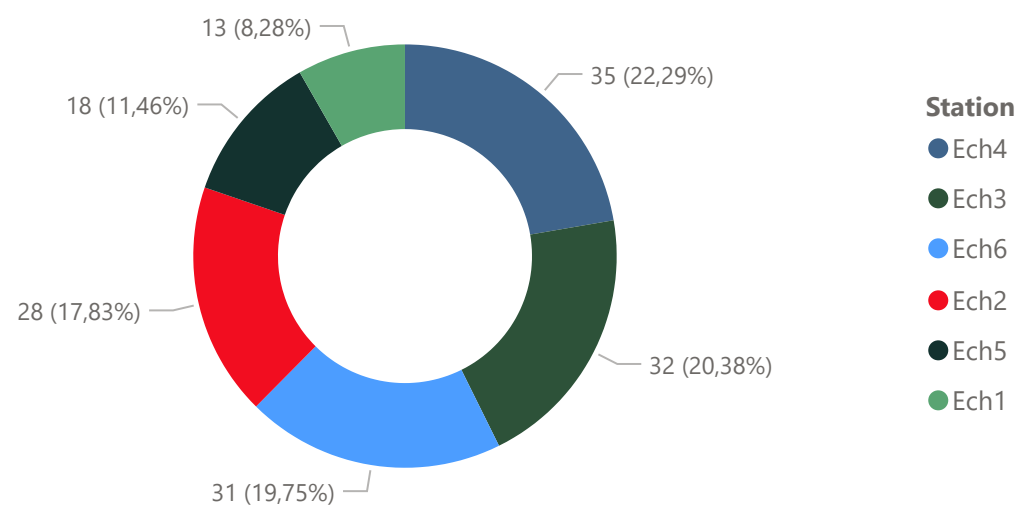
296,89

Variance de Zn(2019)

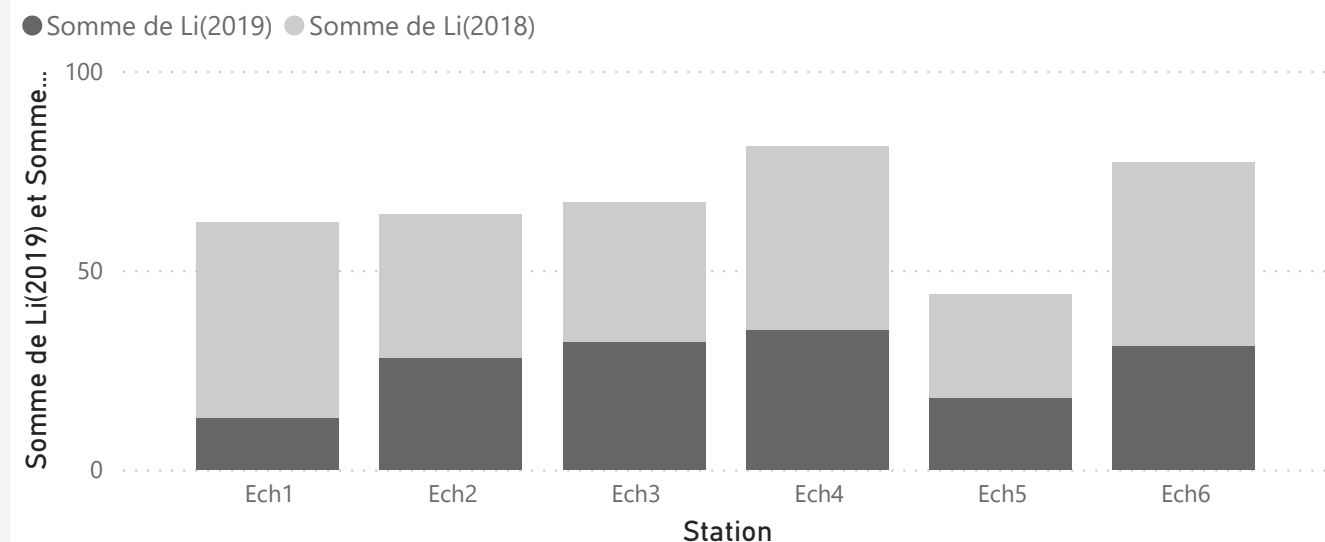
17,23

Écart type de Zn(2019)

Li par Station



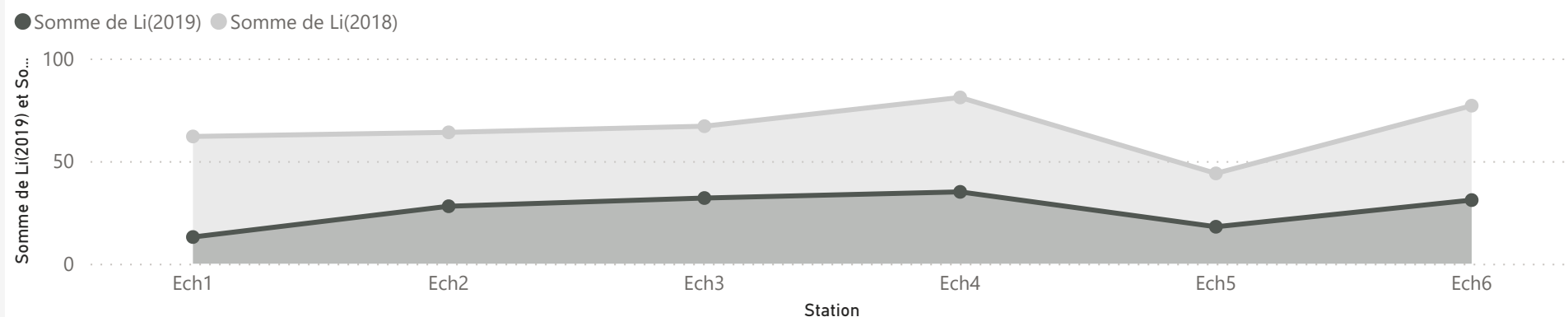
Li par Station



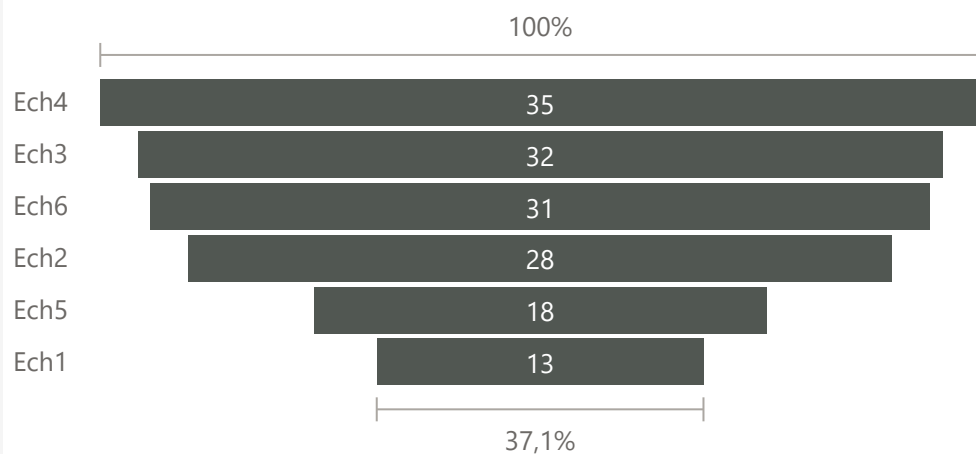
Ech1

Premier Station

Li par Station



Li par Station



26,17

Moyenne de Li(2019)

30

Médiane de Li(2019)

35

Max de Li(2019)

13

Min de Li(2019)

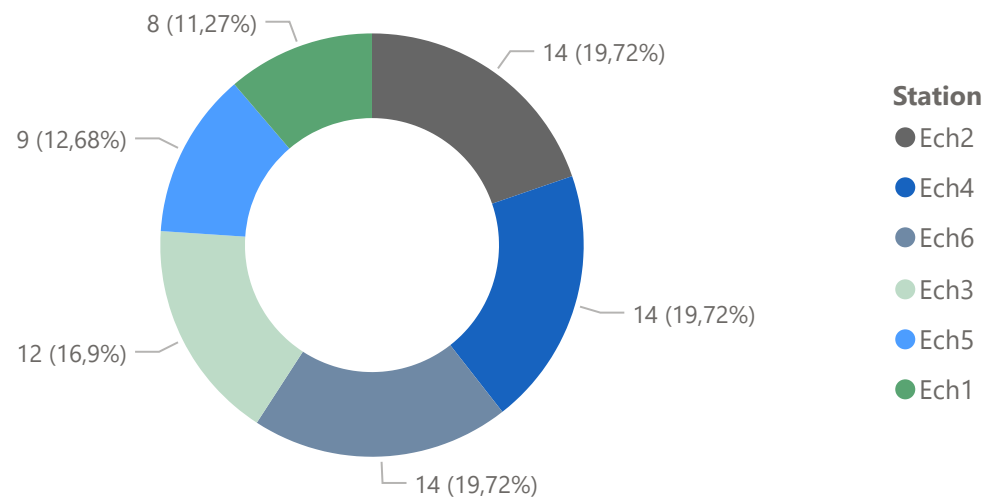
63,14

Variance de Li(2019)

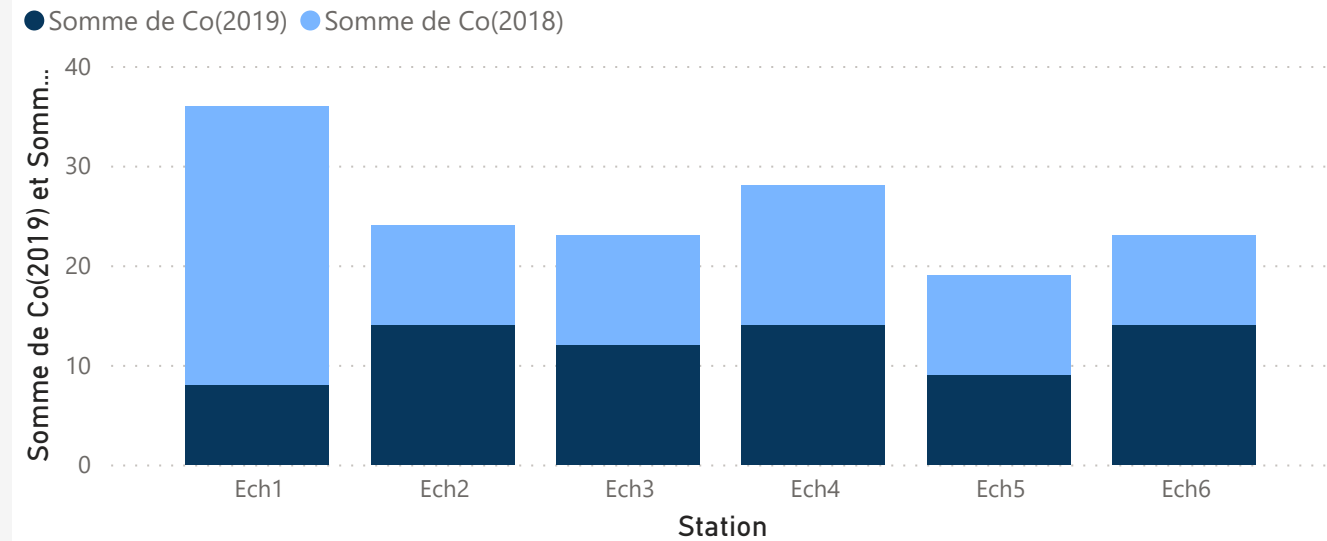
7,95

Écart type de Li(2019)

Co par Station



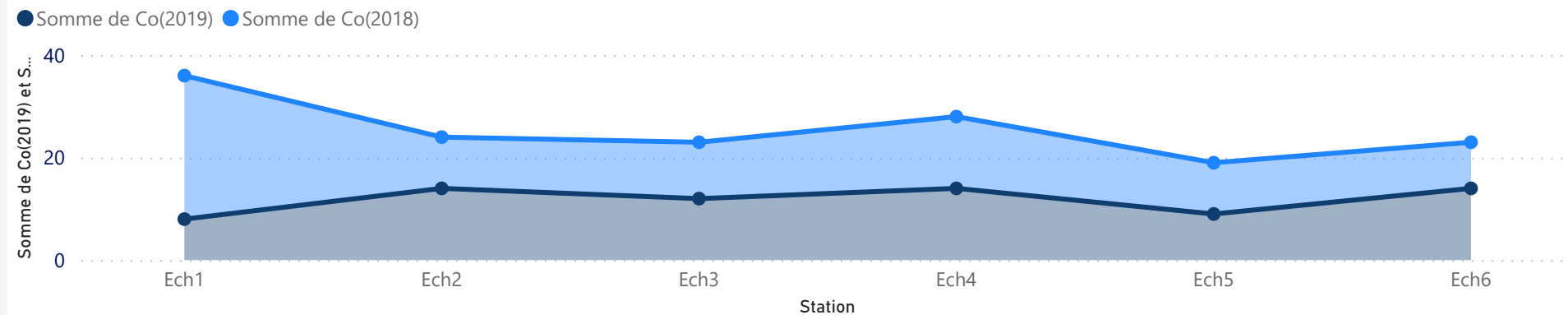
Co par Station



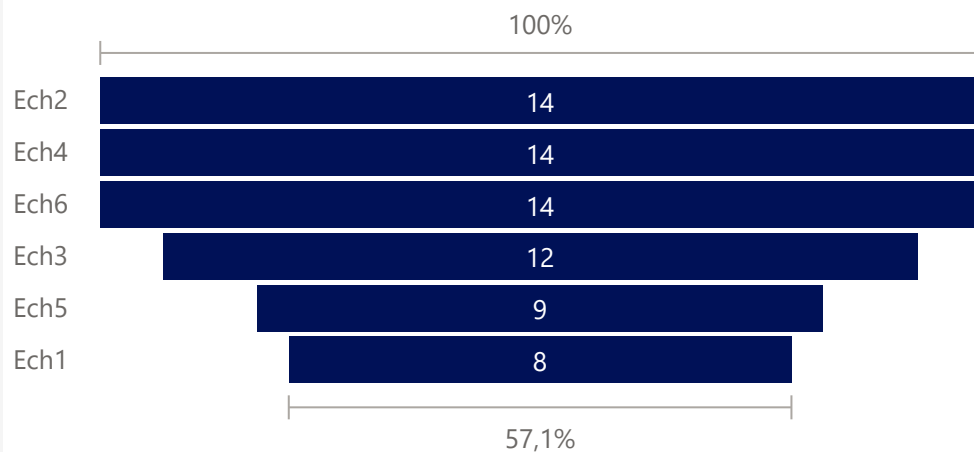
Ech1

Premier Station

Co par Station



Co par Station



11,83

Moyenne de Co(2019)

13

Médiane de Co(2019)

14

Max de Co(2019)

8

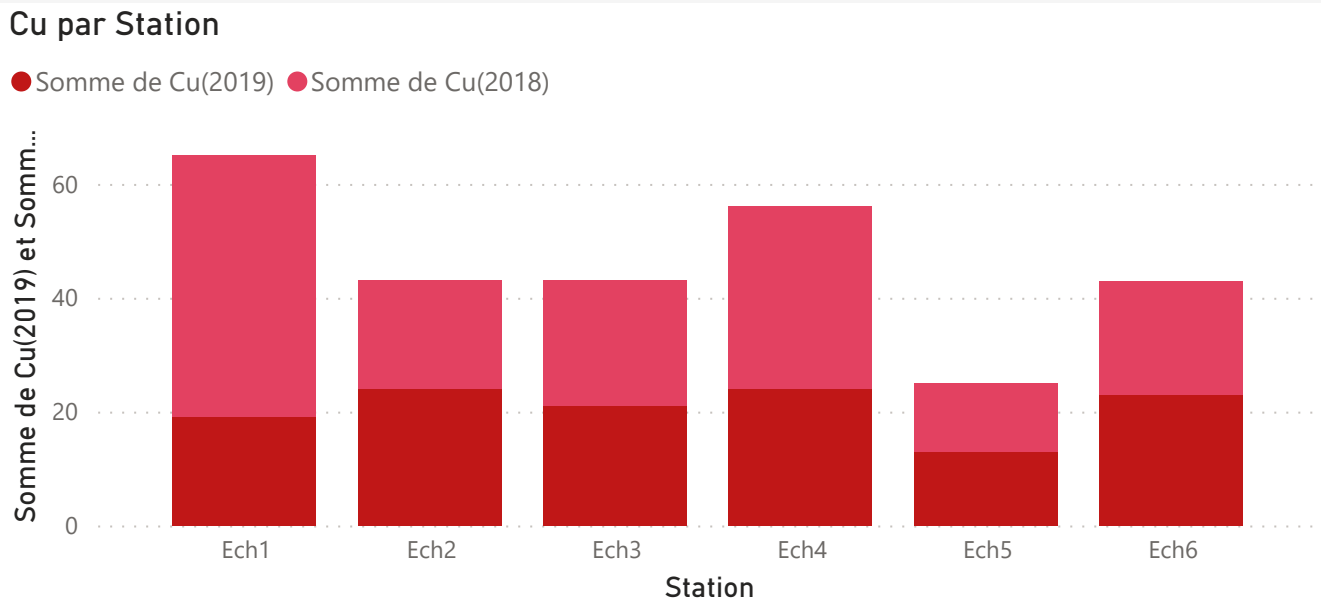
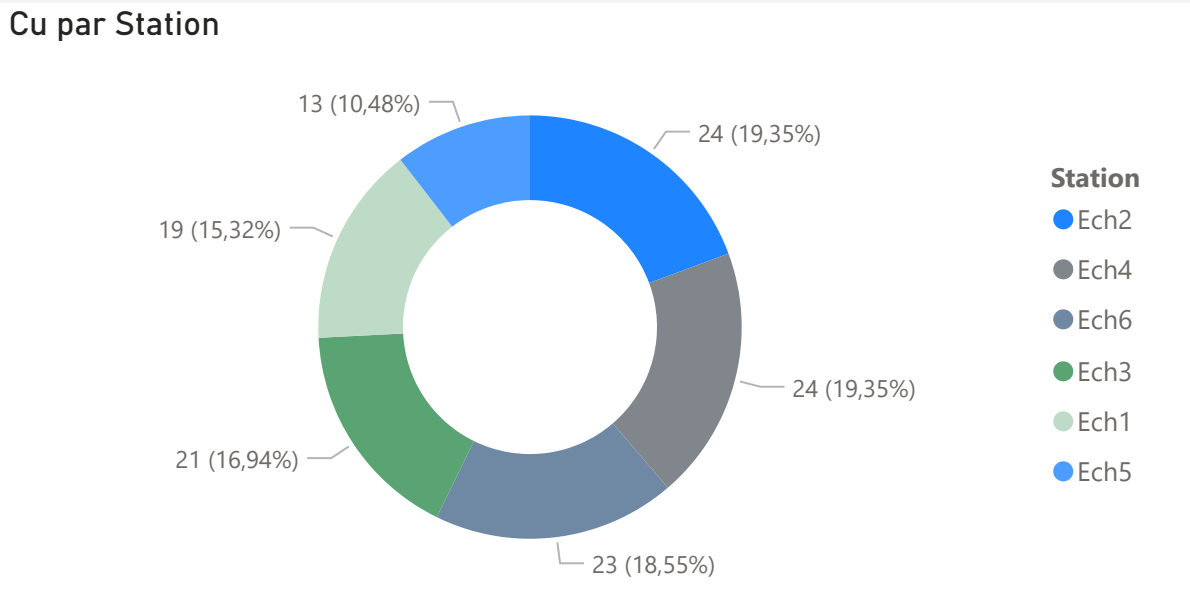
Min de Co(2019)

6,14

Variance de Co(2019)

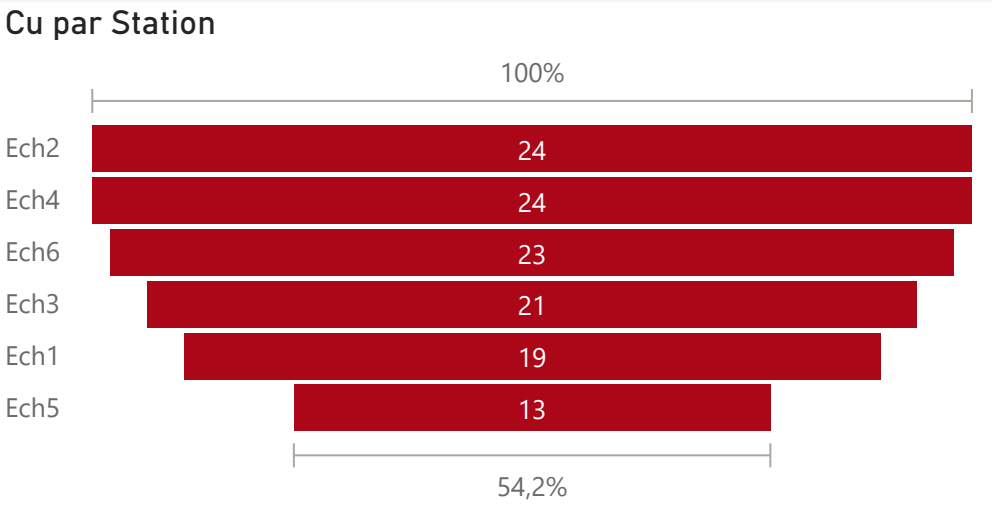
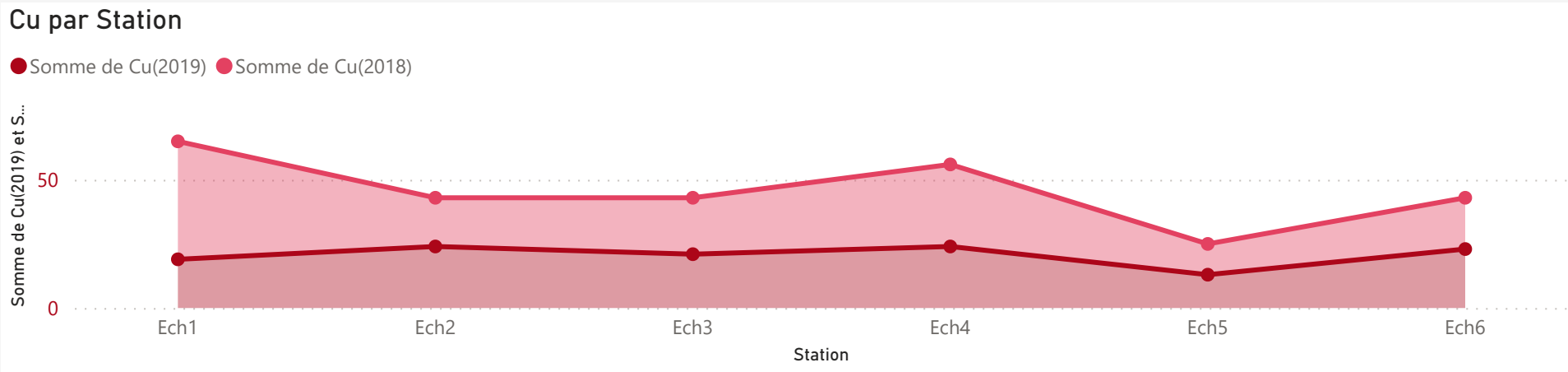
2,48

Écart type de Co(2019)



Ech1

Premier Station



20,67

Moyenne de Cu(2019)

22

Médiane de Cu(2019)

24

Max de Cu(2019)

13

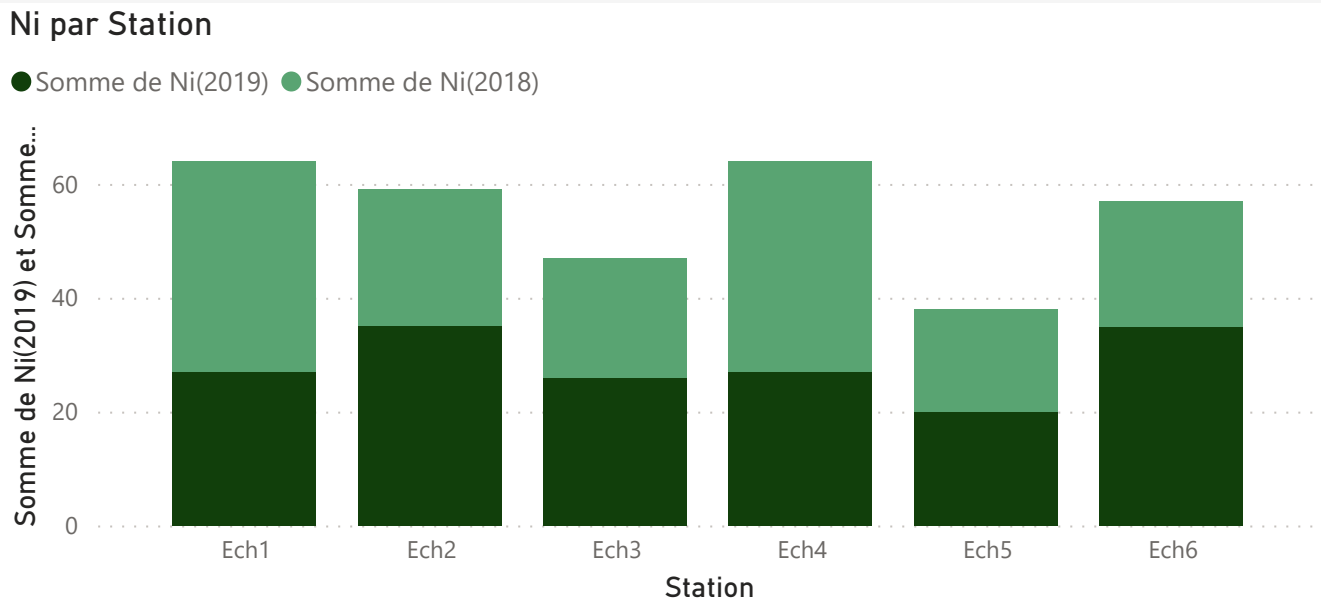
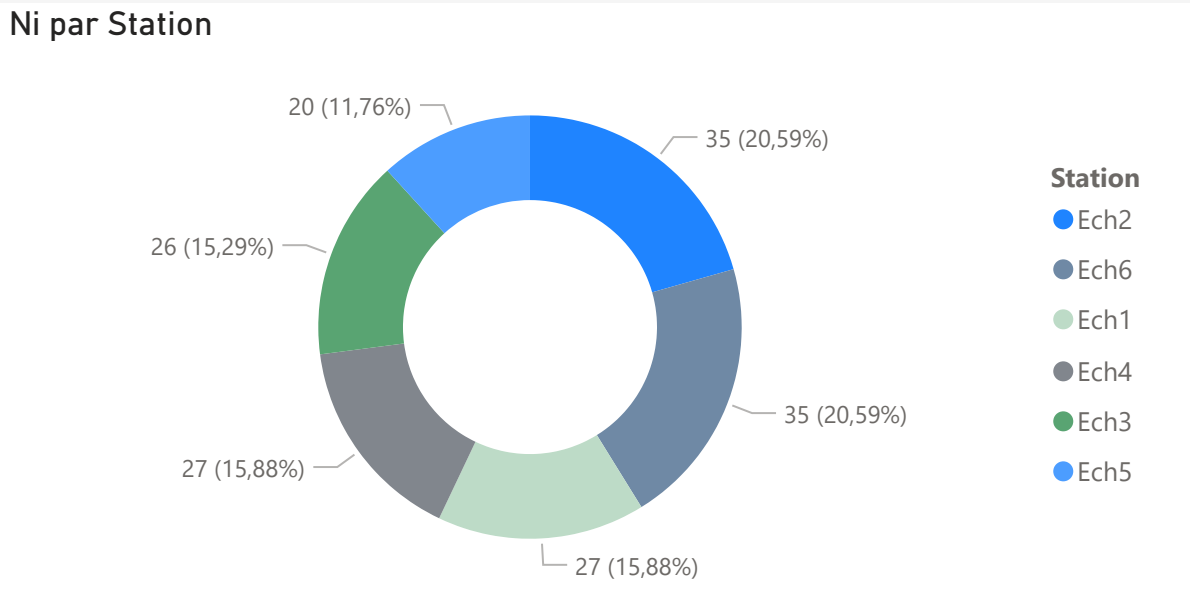
Min de Cu(2019)

14,89

Variance de Cu(2019)

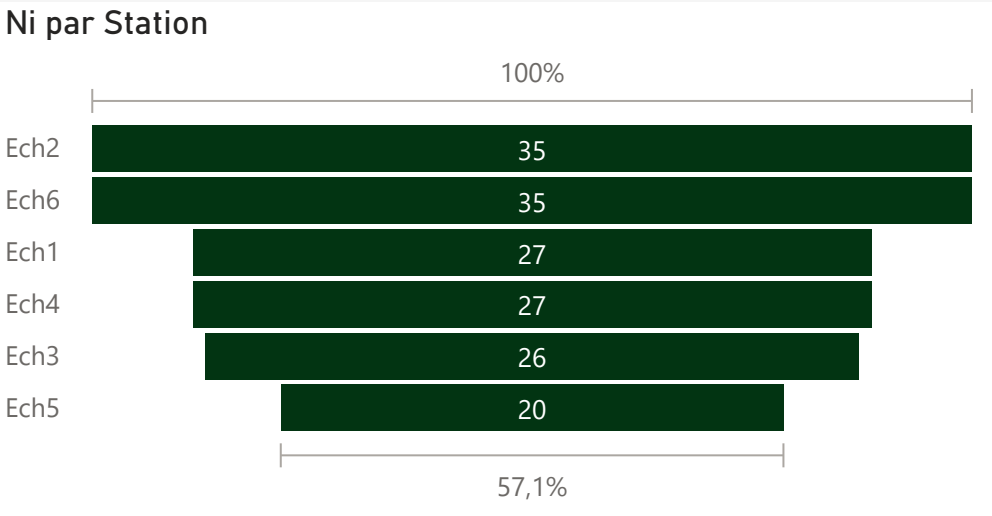
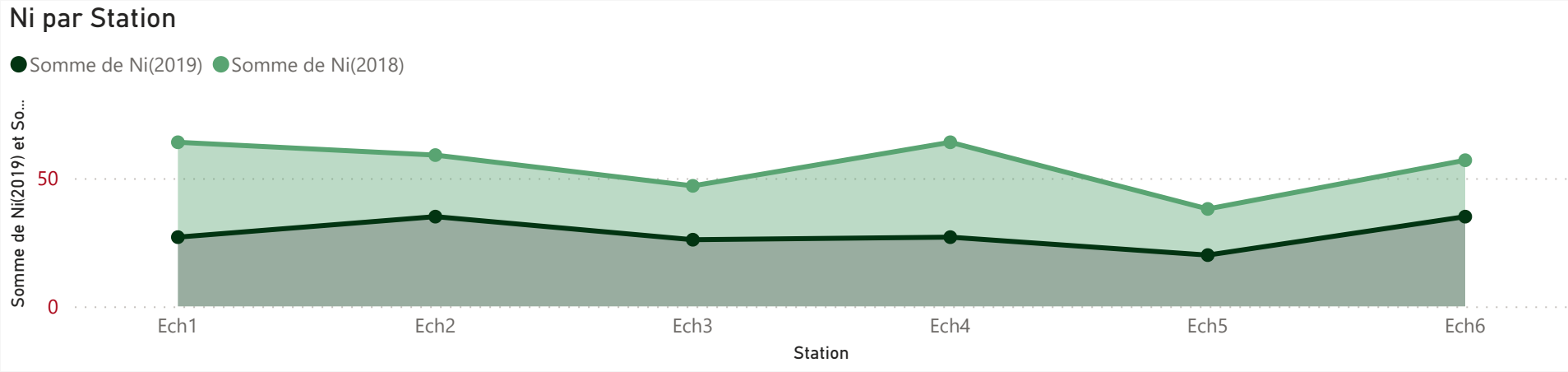
3,86

Écart type de Cu(2019)



Ech1

Premier Station



28,33

Moyenne de Ni(2019)

27

Médiane de Ni(2019)

35

Max de Ni(2019)

20

Min de Ni(2019)

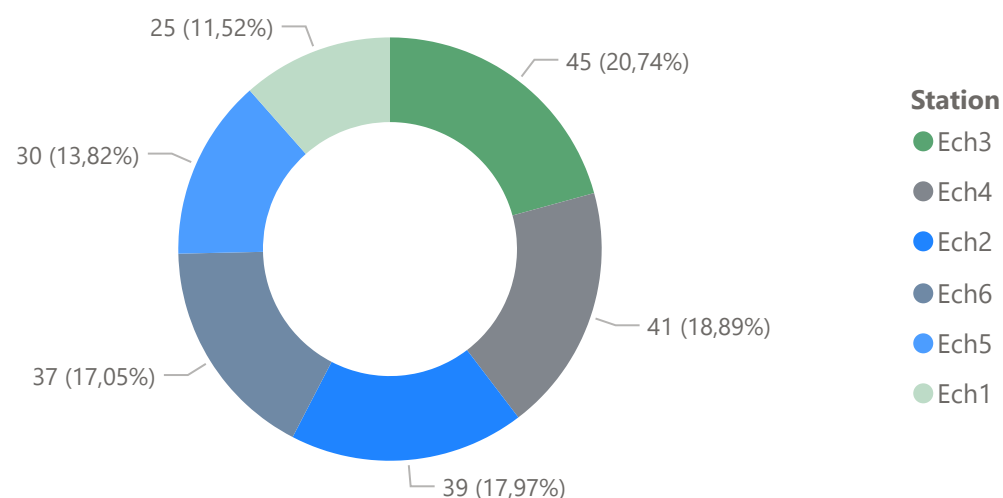
27,89

Variance de Ni(2019)

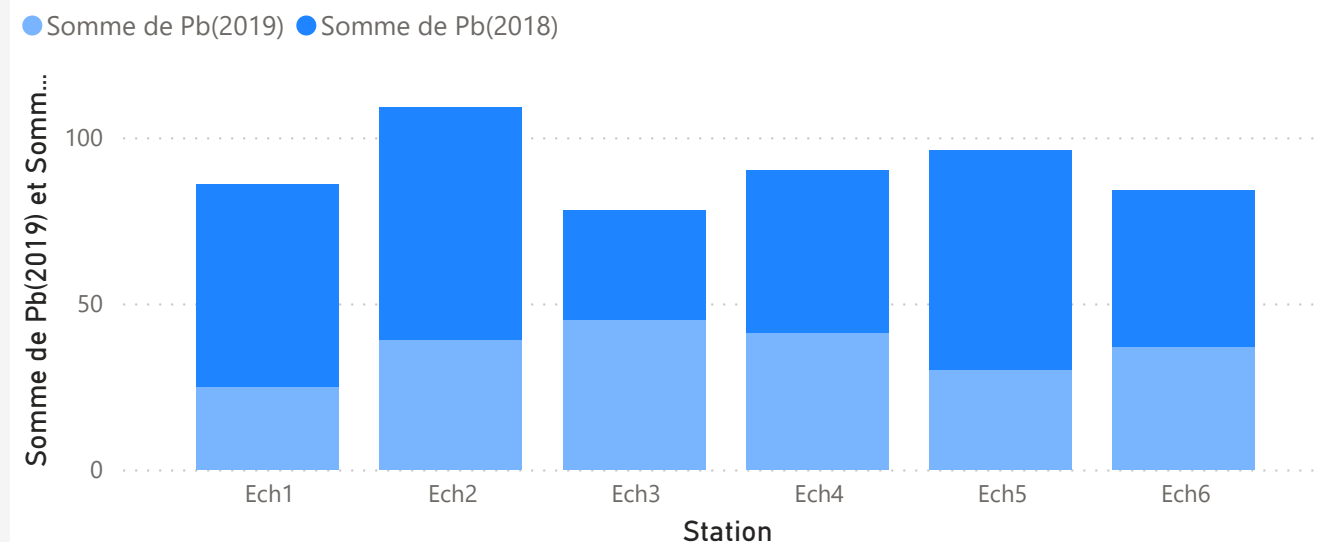
5,28

Écart type de Ni(2019)

Pb par Station



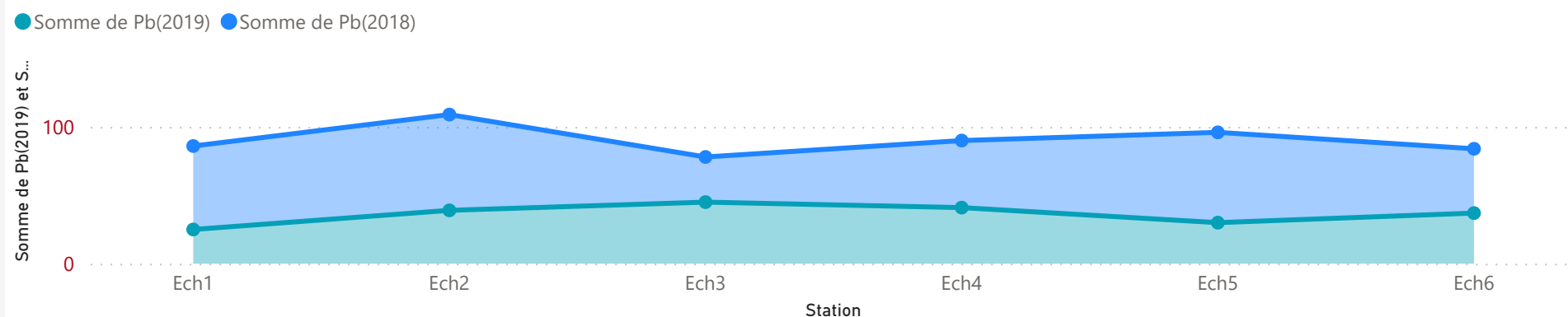
Pb par Station



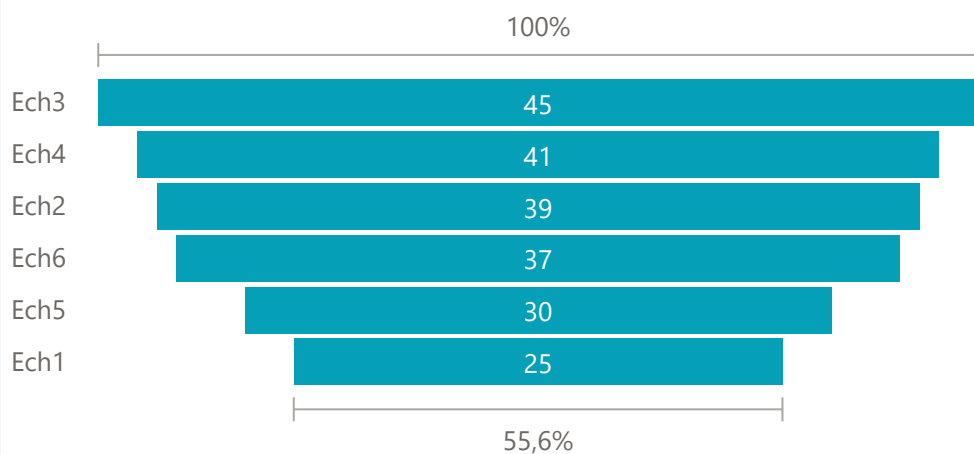
Ech1

Premier Station

Pb par Station



Pb par Station



36,17

Moyenne de Pb(2019)

38

Médiane de Pb(2019)

45

Max de Pb(2019)

25

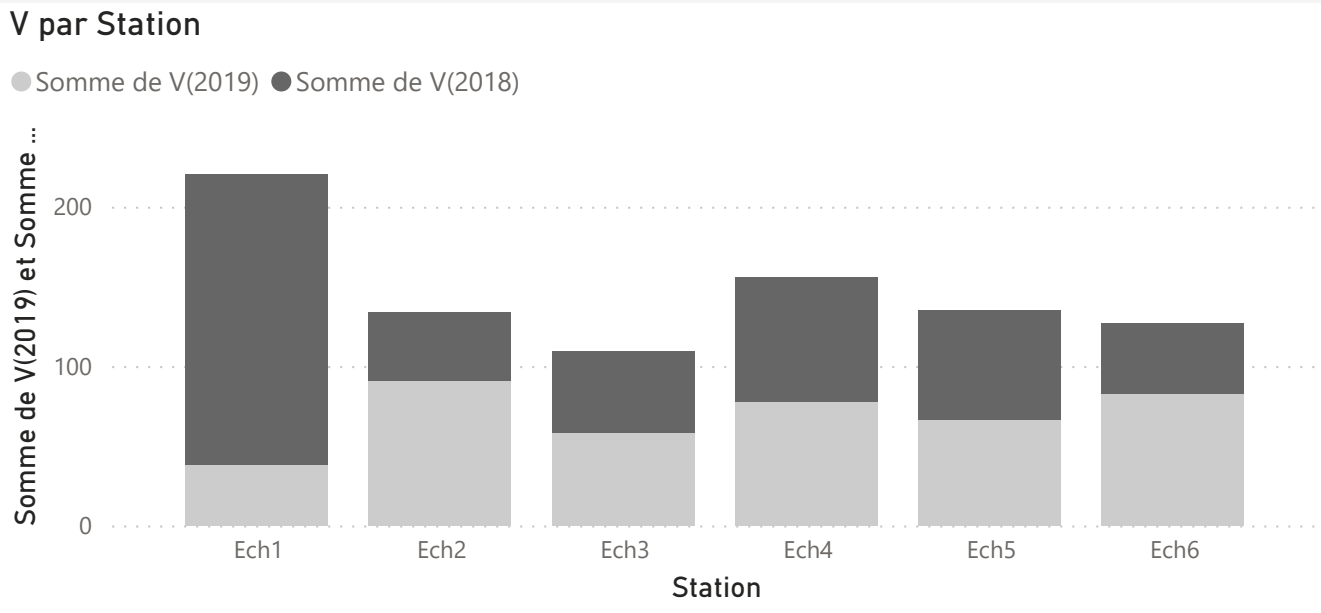
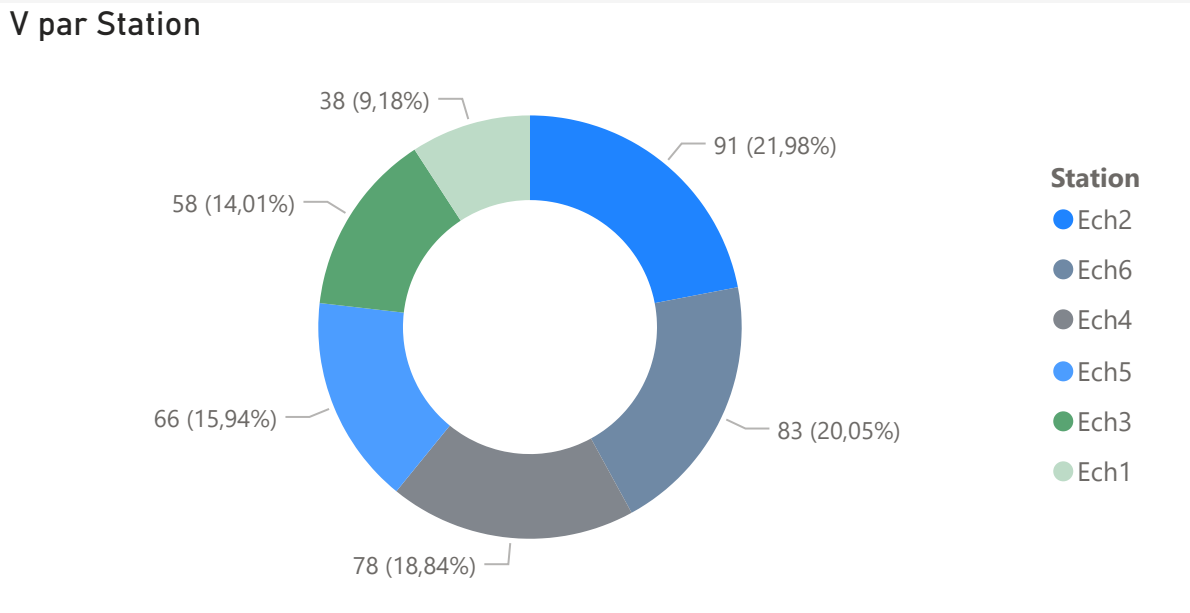
Min de Pb(2019)

45,47

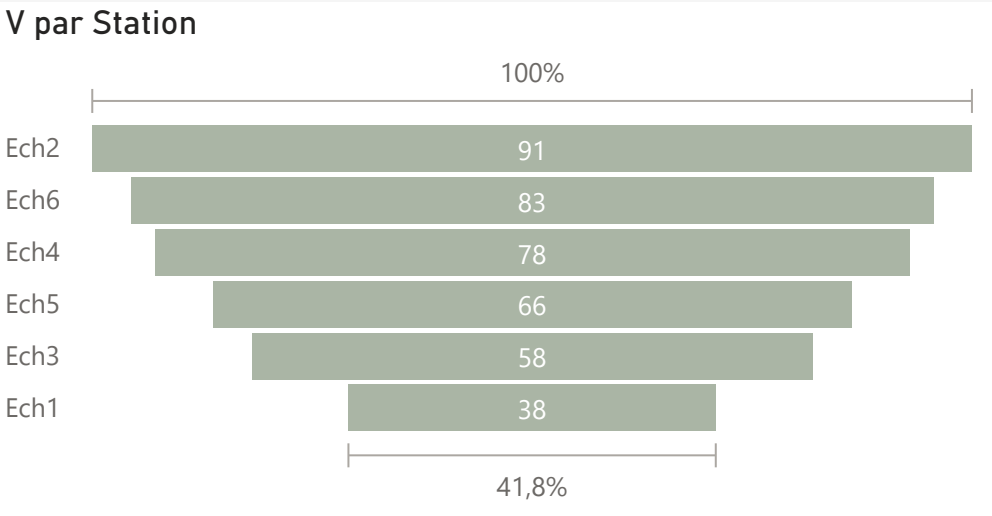
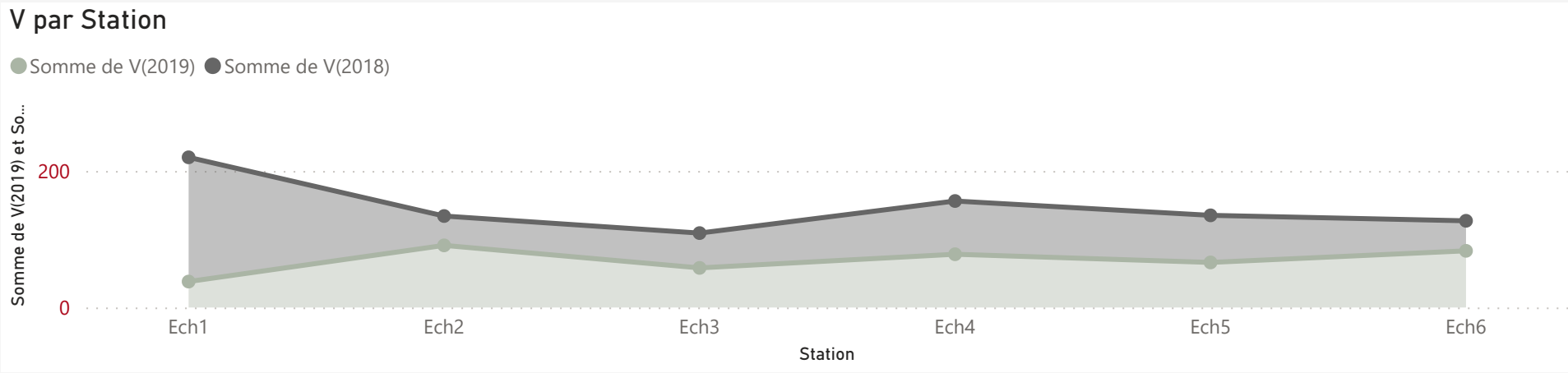
Variance de Pb(2019)

6,74

Écart type de Pb(2019)



Ech1
Premier Station



69,00
Moyenne de V(2019)

72
Médiane de V(2019)

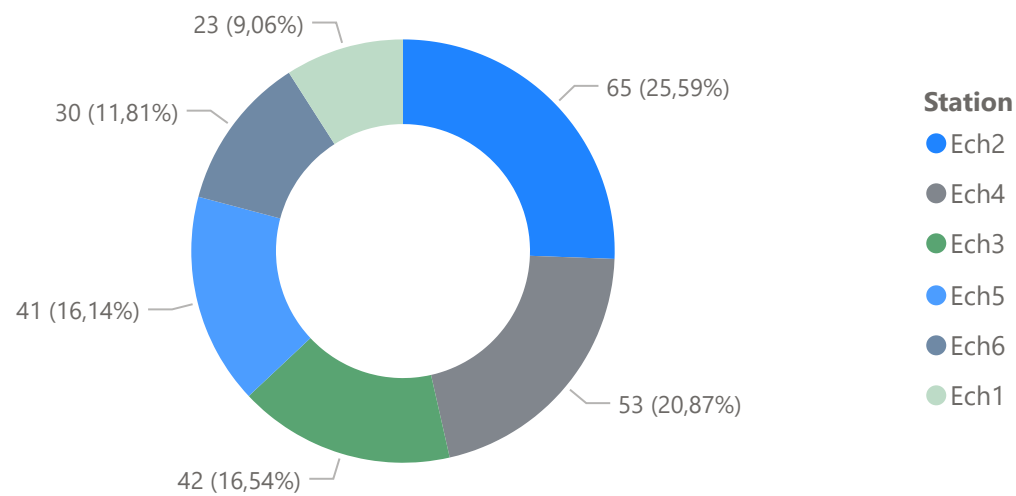
91
Max de V(2019)

38
Min de V(2019)

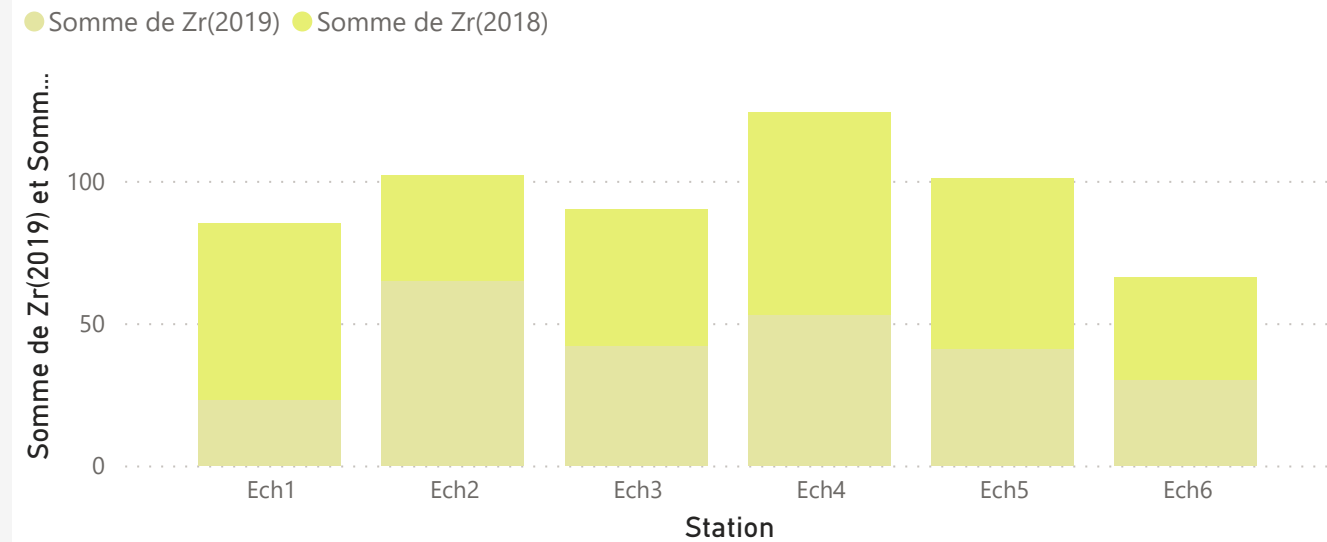
308,67
Variance de V(2019)

414
Somme de V(2019)

Zr par Station



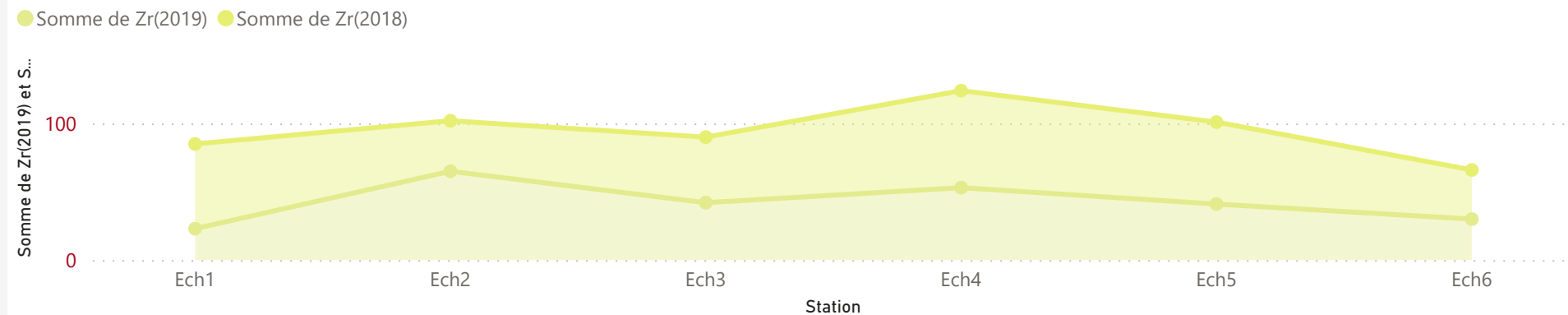
Zr par Station



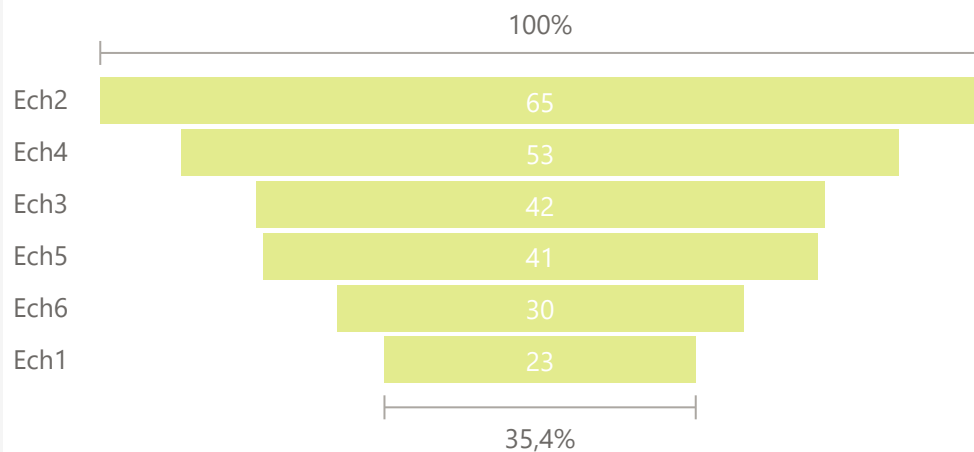
Ech1

Premier Station

Zr par Station



Zr par Station



42,33

Moyenne de Zr(2019)

42

Médiane de Zr(2019)

65

Max de Zr(2019)

23

Min de Zr(2019)

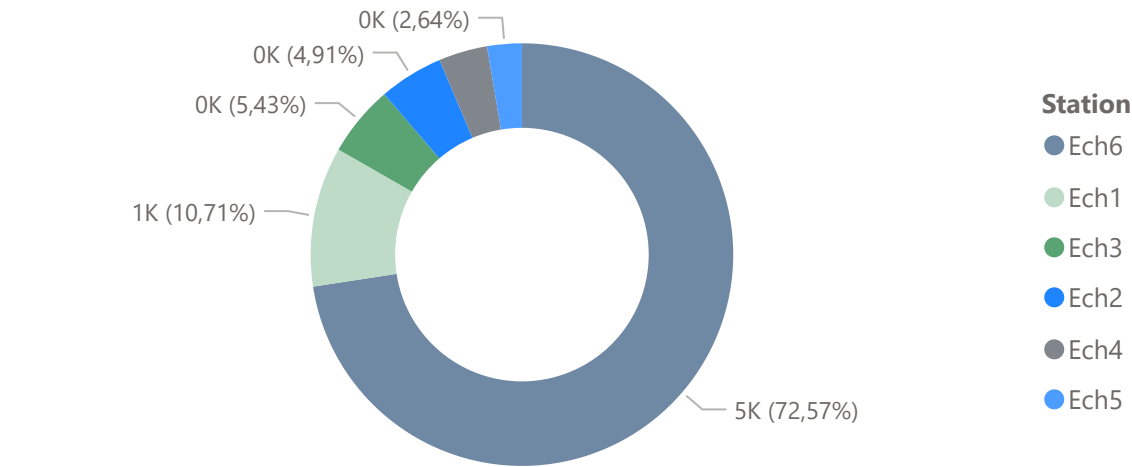
192,56

Variance de Zr(2019)

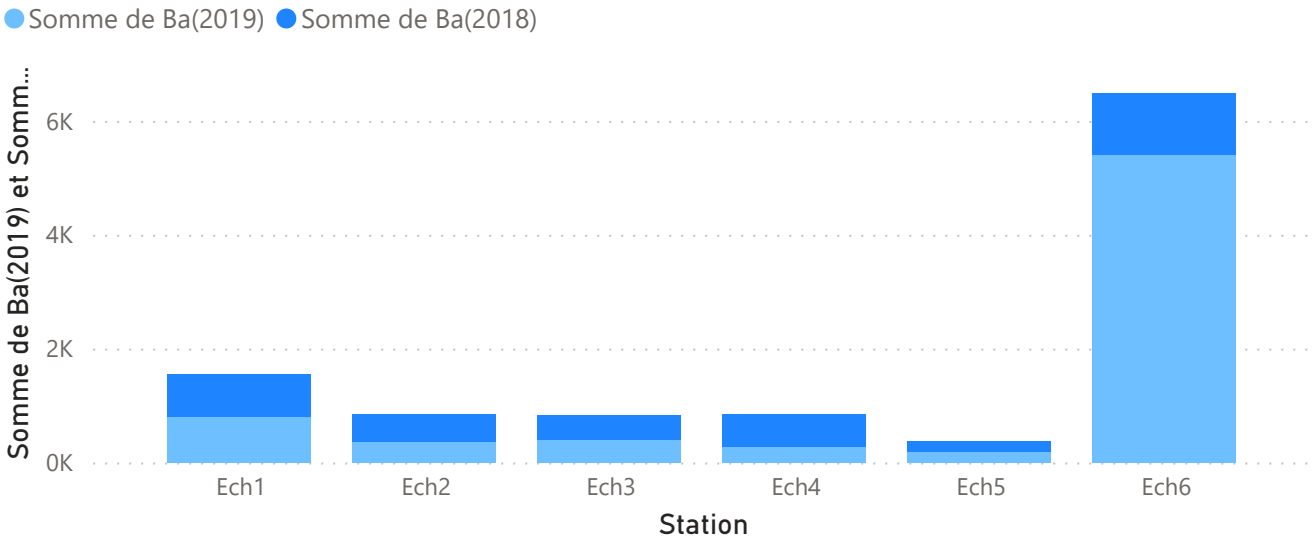
13,88

Écart type de Zr(2019)

Ba par Station



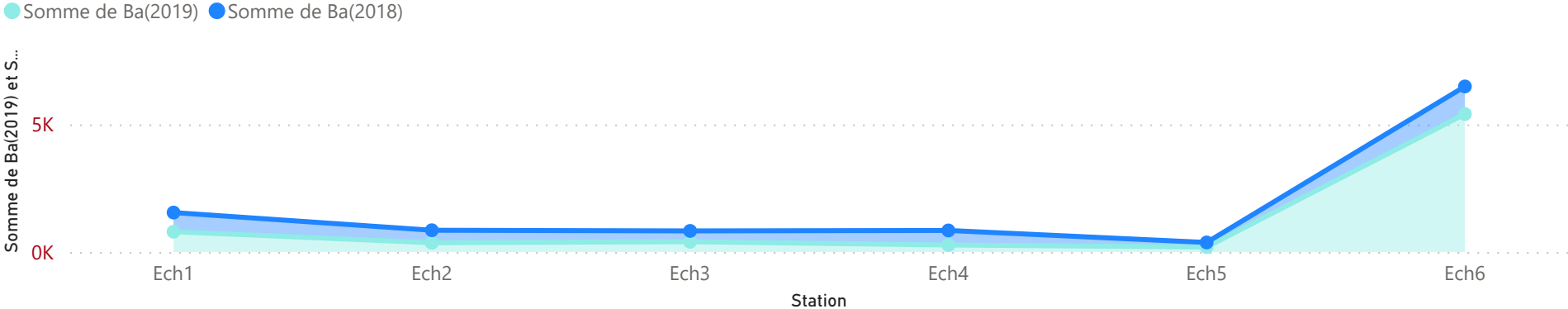
Ba par Station



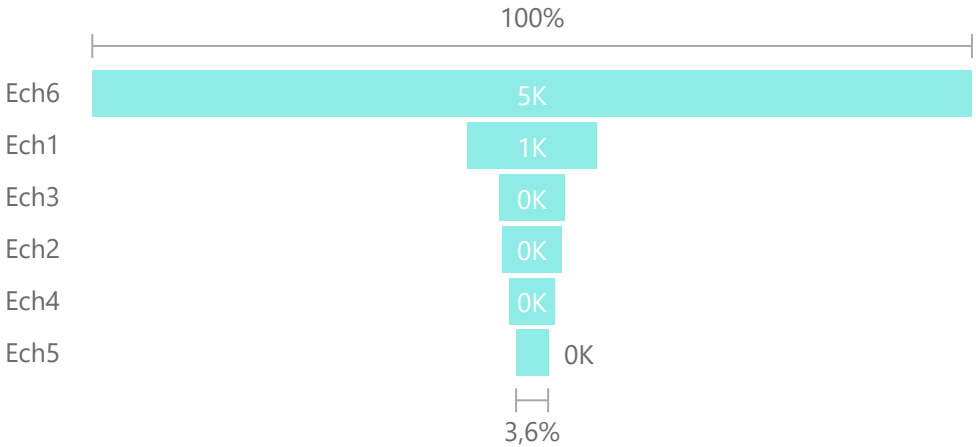
Ech1

Premier Station

Ba par Station



Ba par Station



1,24K

Moyenne de Ba(2019)

386

Médiane de Ba(2019)

5409

Max de Ba(2019)

197

Min de Ba(2019)

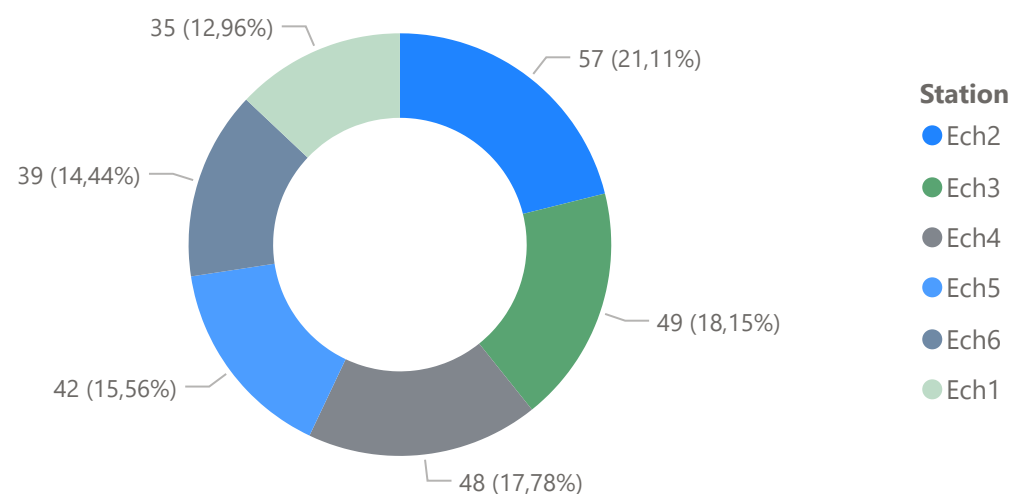
3,51M

Variance de Ba(2019)

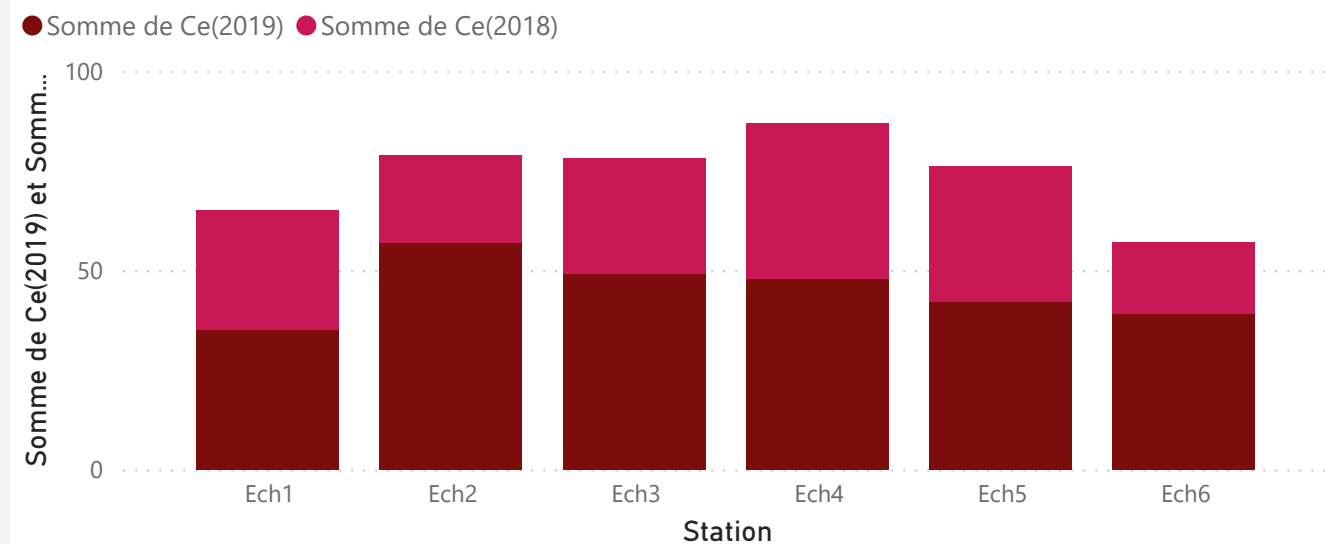
1,87K

Écart type de Ba(2019)

Ce par Station



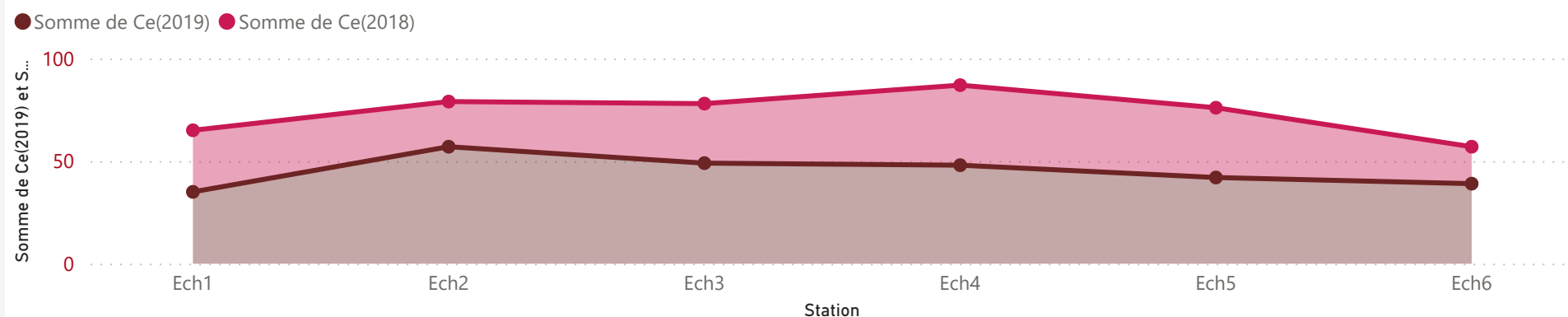
Ce par Station



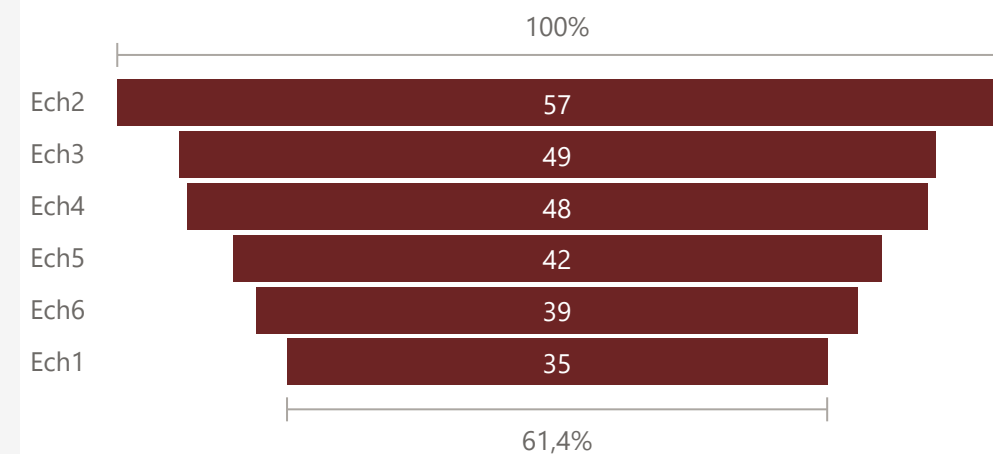
Ech1

Premier Station

Ce par Station



Ce par Station



45,00

Moyenne de Ce(2019)

45

Médiane de Ce(2019)

57

Max de Ce(2019)

35

Min de Ce(2019)

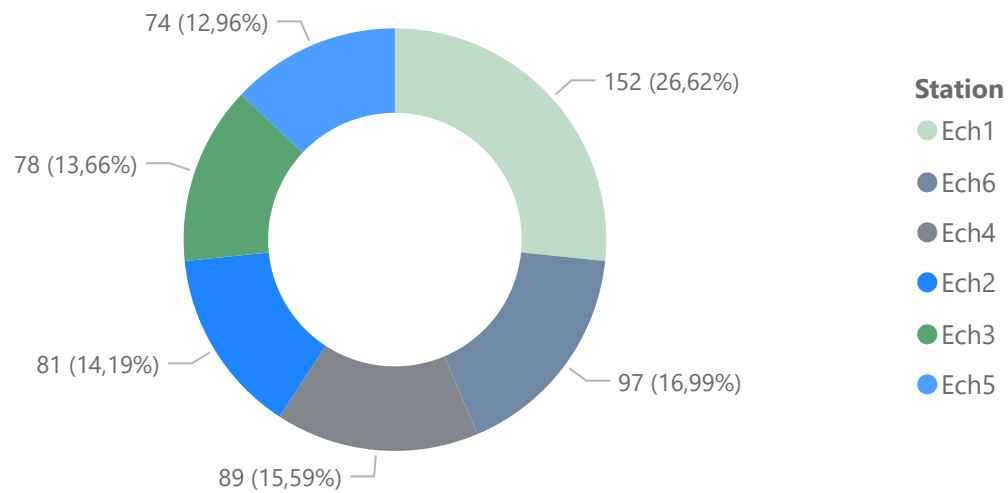
52,33

Variance de Ce(2019)

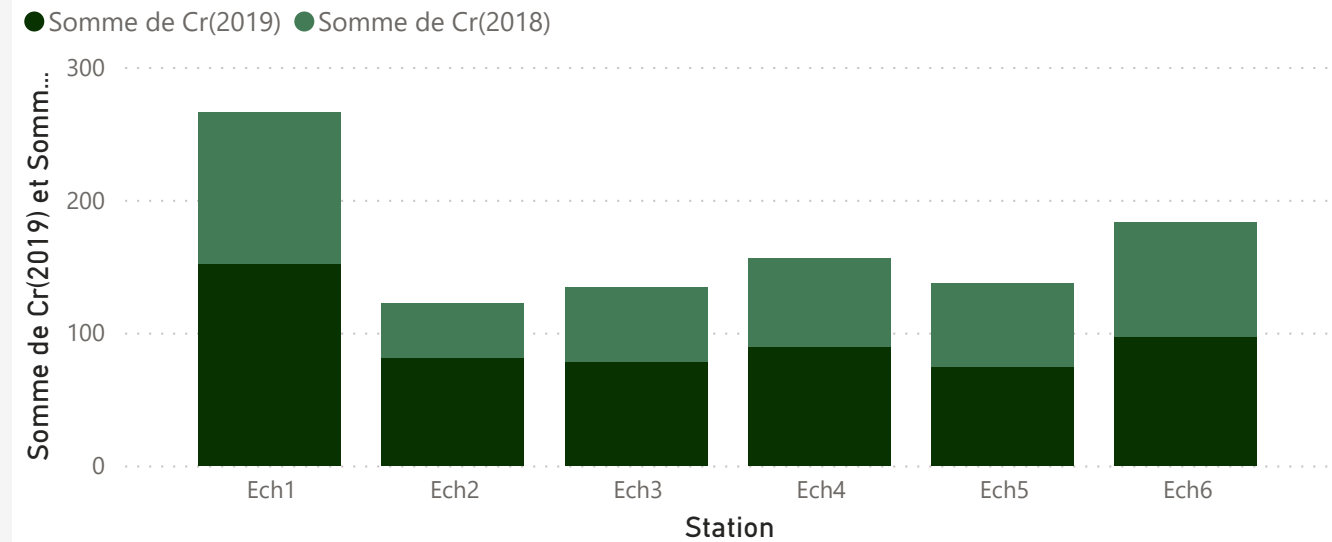
7,23

Écart type de Ce(2019)

Cr par Station



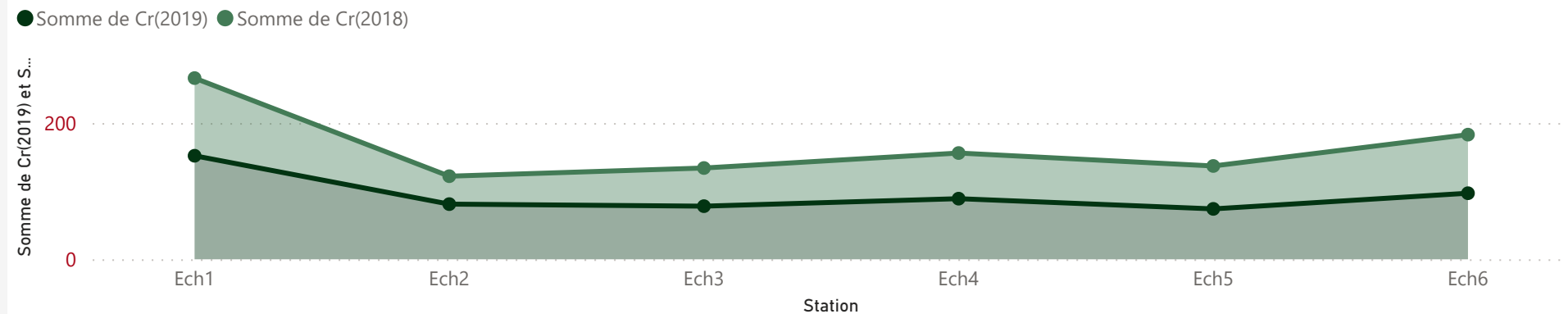
Cr par Station



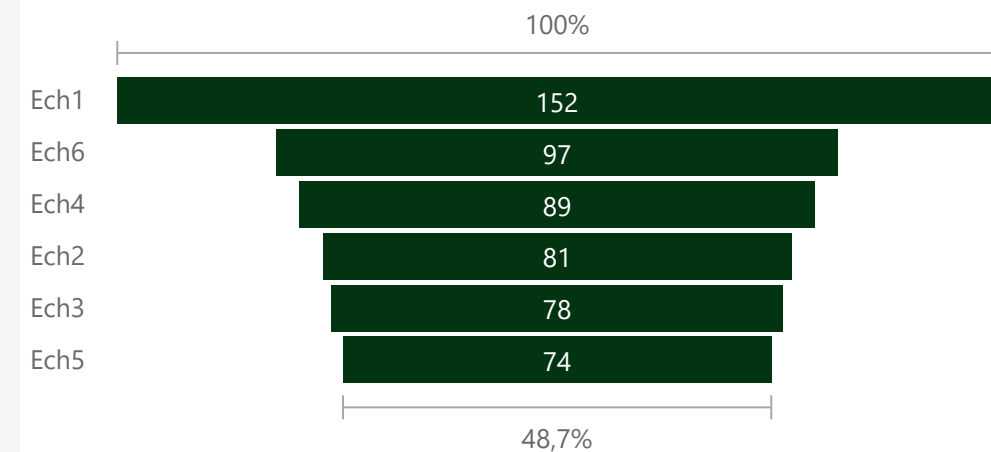
Ech1

Premier Station

Cr par Station



Cr par Station



95,17

Moyenne de Cr(2019)

85

Médiane de Cr(2019)

152

Max de Cr(2019)

74

Min de Cr(2019)

702,47

Variance de Cr(2019)

26,50

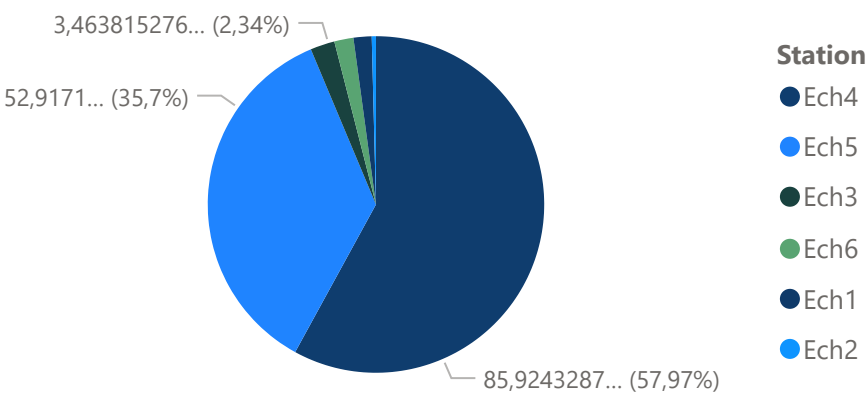
Écart type de Cr(2019)

Exploration des Éléments Trace dans les Échantillons de Sol

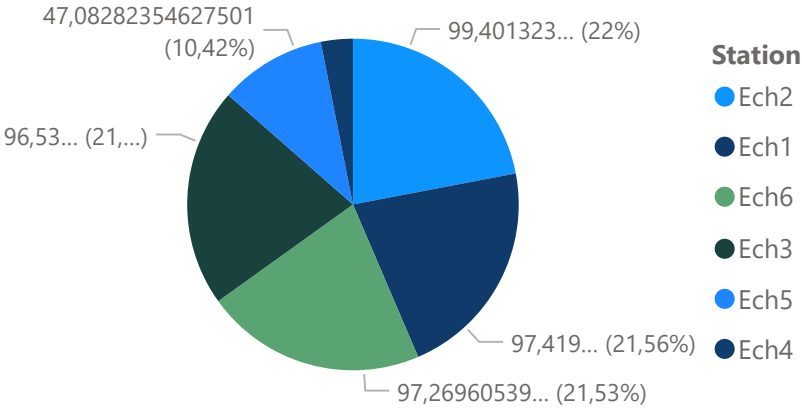
Station	
Ech1	Ech4
Ech2	Ech5
Ech3	Ech6

Station	Somme de pH(2019)	Somme de CE.1(2019)	Somme de % Caco3 (2019)	Somme de % Mo(2019)	Somme de Fraction < 36(2019)	Somme de Fraction > 36(2019)
Ech2	8,25	293,40	51,3514	2,32	0,60	99,40
Ech1	8,50	520,00	35,8108	0,81	2,58	97,42
Ech6	7,86	142,00	39,1892	0,88	2,73	97,27
Ech3	8,20	228,00	38,5135	0,81	3,46	96,54
Ech5	8,01	115,00	14,1892	2,50	52,92	47,08
Ech4	7,50	152,00	43,2432	1,41	95,02	4,98
Total	48,32	1 450,40	222,2973	8,73	148,22	451,78

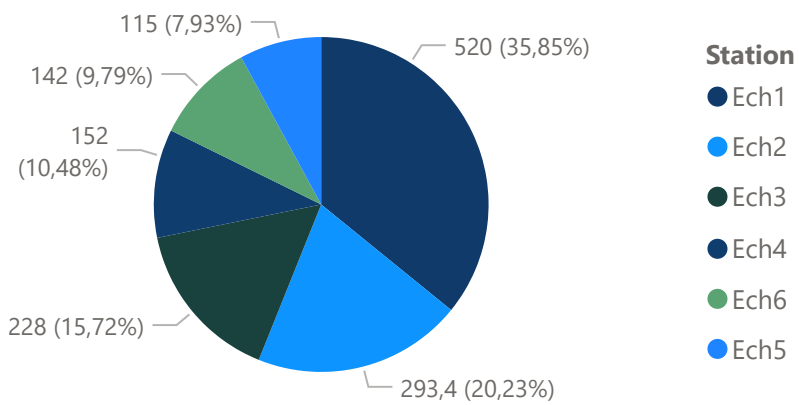
Somme de Fraction < 36(2019) par Station



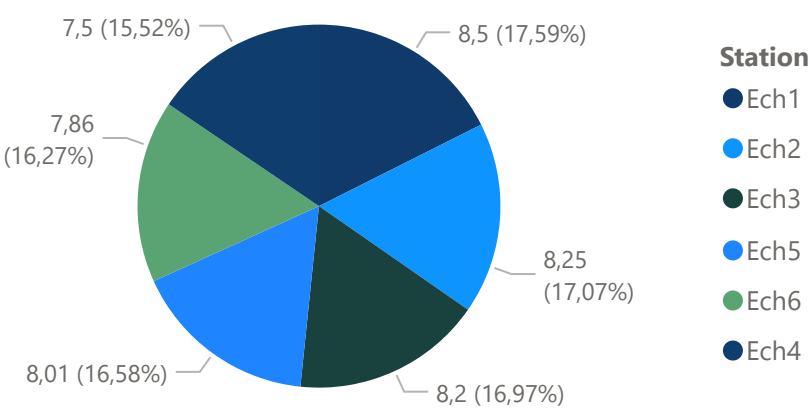
Somme de Fraction > 36(2019) par Station



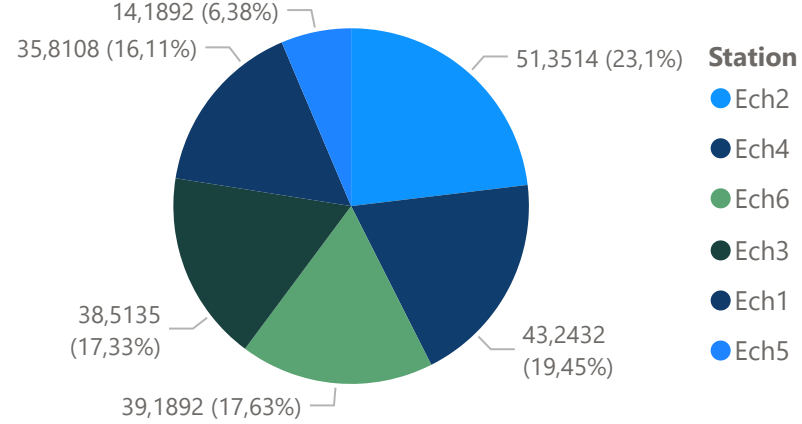
Somme de CE.1(2019) par Station



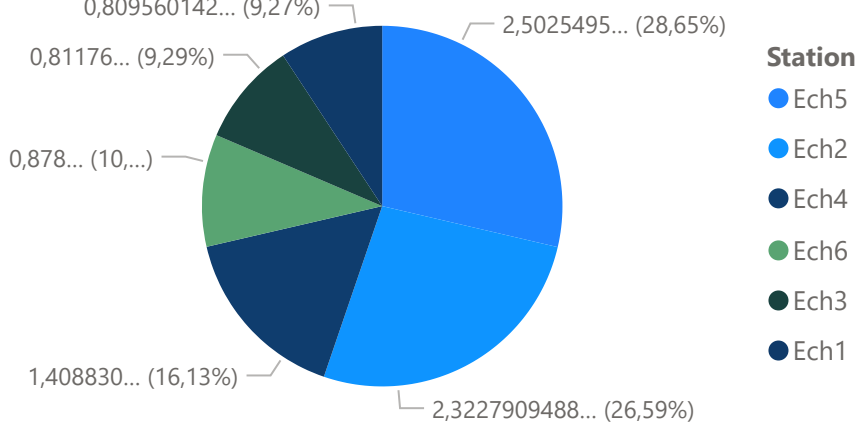
Somme de pH(2019) par Station



Somme de % Caco3 (2019) par Station



Somme de % Mo(2019) par Station

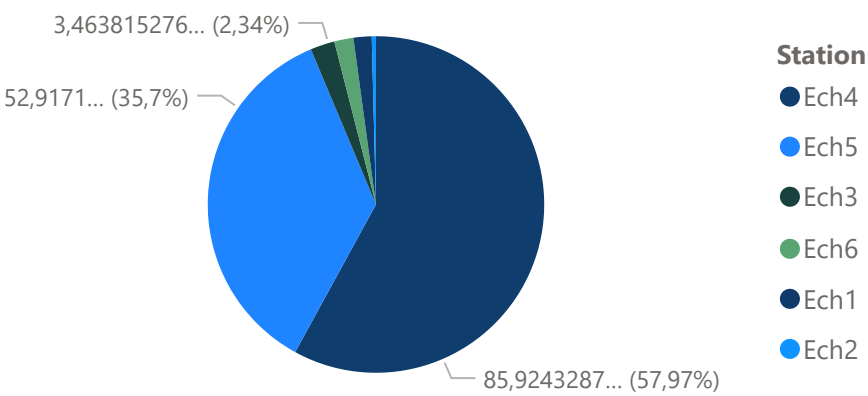


Exploration des Éléments Trace dans les Échantillons de Sol

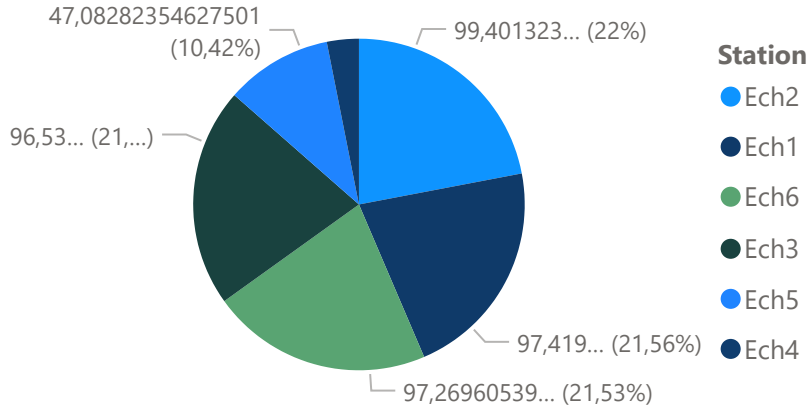
Station	
Ech1	Ech4
Ech2	Ech5
Ech3	Ech6

Station	Somme de pH(2018)	Somme de CE.1(2018)	Somme de % Caco3 (2018)	Somme de % Mo(2018)	Somme de Fraction < 36(2018)	Somme de Fraction > 36(2018)
Ech1	8,35	133,00	35,81	1,18	2,58	97,42
Ech2	8,39	284,50	51,35	0,97	0,60	99,40
Ech3	8,43	174,05	38,51	0,77	3,46	96,54
Ech4	8,26	248,50	43,24	1,09	85,92	14,08
Ech5	8,37	207,00	14,19	1,79	52,92	47,08
Ech6	8,20	151,40	20,10	0,80	2,72	97,27
Total	49,99	1 198,45	222,30	6,69	148,22	451,78

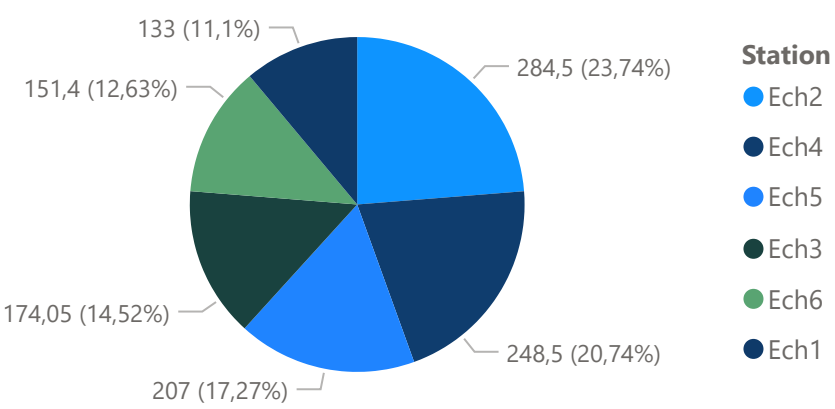
Somme de Fraction < 36(2018) par Station



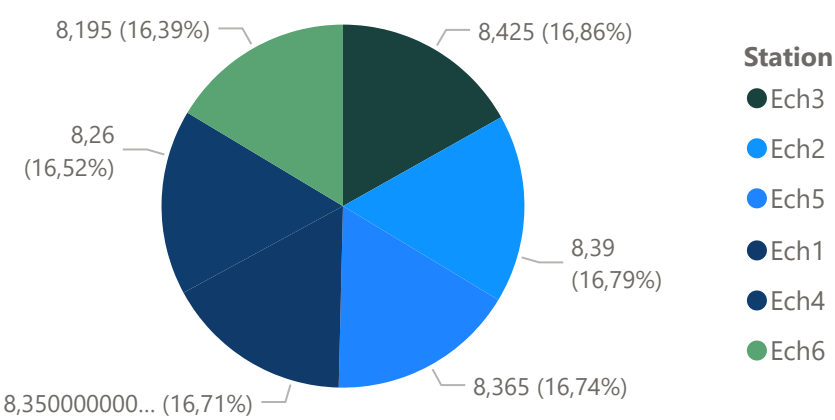
Somme de Fraction > 36(2018) par Station



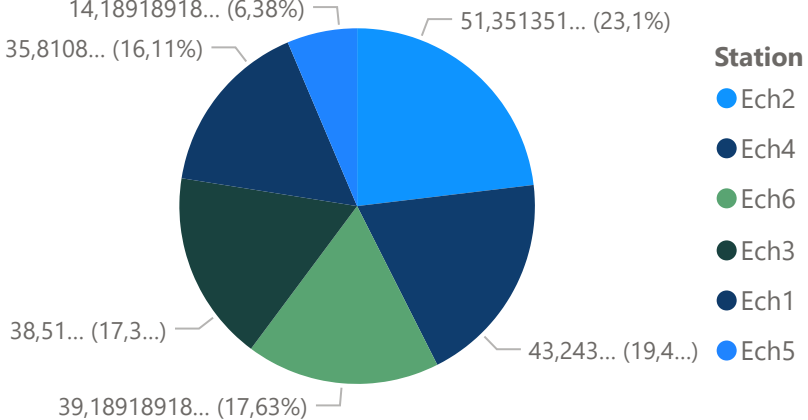
Somme de CE.1(2018) par Station



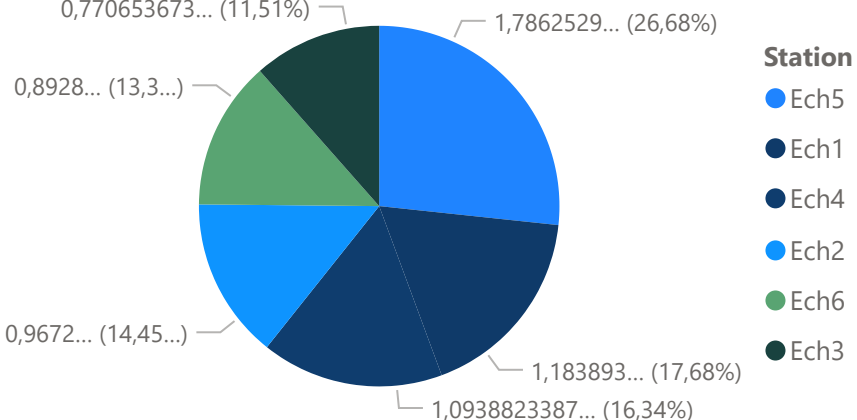
Somme de pH(2018) par Station



Somme de % Caco3 (2018) par Station



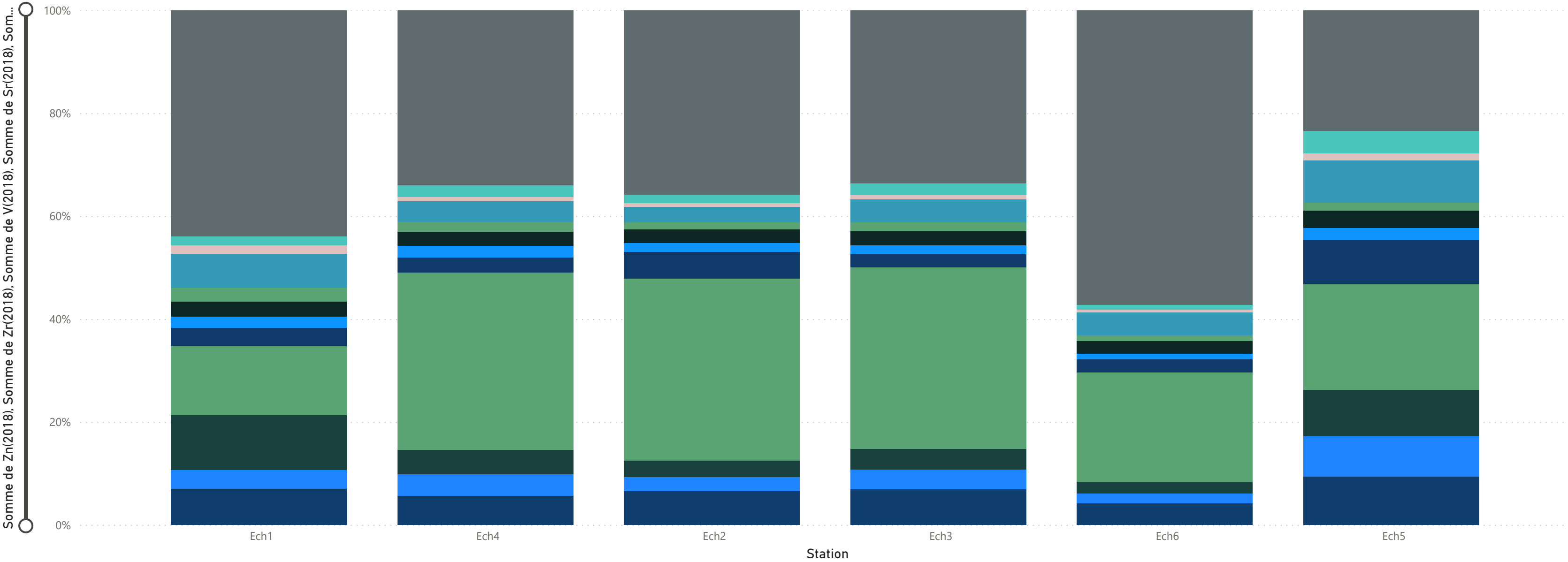
Somme de % Mo(2018) par Station



Exploration des Éléments Trace dans les Échantillons de Sol

Somme de Zn(2018), Somme de Zr(2018), Somme de V(2018), Somme de Sr(2018), Somme de Pb(2018), Somme de Ni(2018), Somme de Li(2018), Somme de Cu(2018), Somme de Cr(2018), Somme de Co(2018), Somme de Ce(2018) et Somme de Ba(2018) par Station

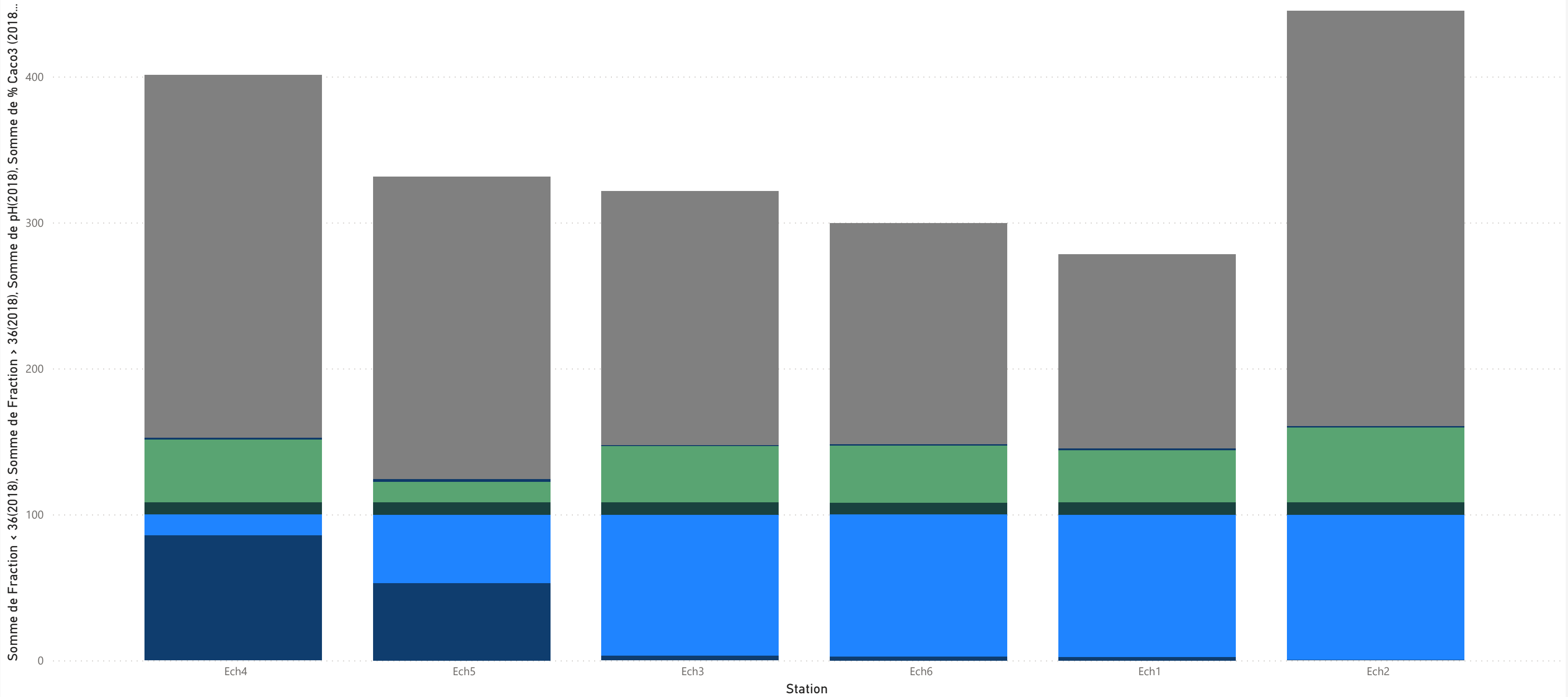
Somme de Zn(2018) Somme de Zr(2018) Somme de V(2018) Somme de Sr(2018) Somme de Pb(2018) Somme de Ni(2018) Somme de Li(2018) Somme de Cu(2018) Somme de Cr(2018) Somme de Co(2018) Somme de Ce(2018) Somme de Ba(2018)



Exploration des Éléments Trace dans les Échantillons de Sol

Somme de Fraction < 36(2018), Somme de Fraction > 36(2018), Somme de pH(2018), Somme de % Caco3 (2018), Somme de % Mo(2018) et Somme de CE.1(2018) par Station

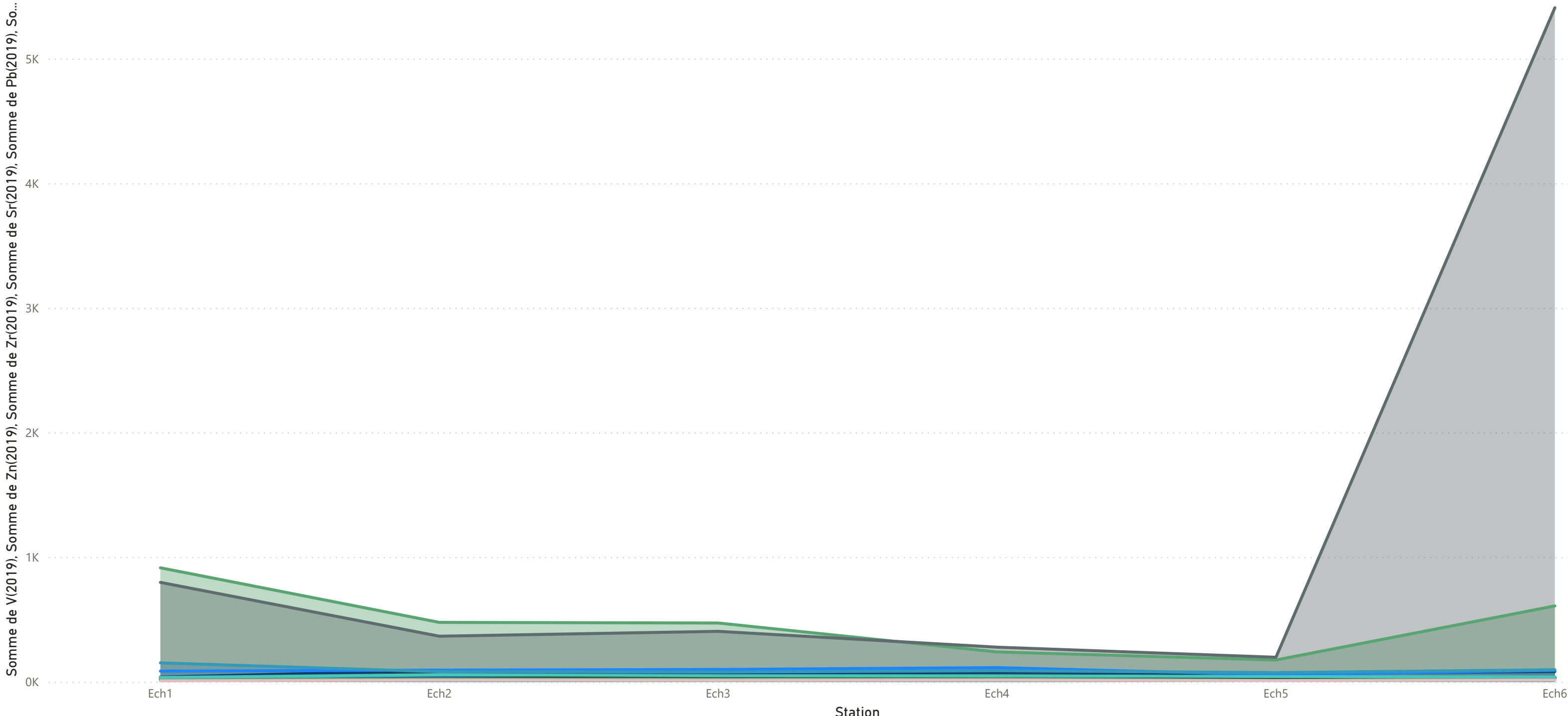
● Somme de Fraction < 36(2018) ● Somme de Fraction > 36(2018) ● Somme de pH(2018) ● Somme de % Caco3 (2018) ● Somme de % Mo(2018) ● Somme de CE.1(2018)



Exploration des Éléments Trace dans les Échantillons de Sol

Somme de V(2019), Somme de Zn(2019), Somme de Zr(2019), Somme de Sr(2019), Somme de Pb(2019), Somme de Ni(2019), Somme de Li(2019), Somme de Cu(2019), Somme de Cr(2019), Somme de Co(2019), Somme de Ce(2019) et Somme de Ba(2019) par Station

● Somme de V(2019) ● Somme de Zn(2019) ● Somme de Zr(2019) ● Somme de Sr(2019) ● Somme de Pb(2019) ● Somme de Ni(2019) ● Somme de Li(2019) ● Somme de Cu(2019) ● Somme de Cr(2019) ● Somme de Co(2019) ● Somme de Ce(2019) ● Somme de Ba(2019)



Exploration des Éléments Trace dans les Échantillons de Sol

Somme de pH(2019), Somme de Fraction < 36(2019), Somme de Fraction > 36(2019), Somme de % Mo(2019) et Somme de % Caco3 (2019) par Station

● Somme de pH(2019) ● Somme de Fraction < 36(2019) ● Somme de Fraction > 36(2019) ● Somme de % Mo(2019) ● Somme de % Caco3 (2019)

